

Laminations géodésiques plates.

T. Morzadec

21 septembre 2022

Abstract : Since their introduction by Thurston, geodesic laminations on hyperbolic surfaces occur in many contexts. In this paper, we propose a generalisation of geodesic laminations on locally $CAT(0)$, complete, geodesic metric spaces, whose boundary at infinity of the universal cover is endowed with a invariant total cyclic order. Then we study these new objects on surfaces endowed with flat structures and on finite metric graphs. The main result of the paper is a theorem of classification of geodesic laminations on a compact surface endowed with a flat structure. We also show that every finite metric graph, except four, is the support of a geodesic lamination with uncountably many leaves none of whose is eventually periodic.¹

1 Introduction.

L'objet principal de cet article est de proposer et d'étudier une généralisation des laminations géodésiques sur les surfaces hyperboliques (voir par exemple [Bon]) à celles sur les espaces métriques localement $CAT(0)$ enrubannés (voir ci-dessous), plus particulièrement aux surfaces munies de structures plates à holonomie $\{\pm \text{Id}\}$. Une motivation, qui fera l'objet d'un travail ultérieur, est d'étudier en profondeur les dégénérescences de tels objets, comme initié dans [DLR]. Dans le cas des arbres, cette notion de lamination géodésique ne doit pas être confondue avec celle introduite dans par exemple [BFH] et [CHL].

Soient (X, d) un espace métrique géodésique localement $CAT(0)$ complet, et $p : (\tilde{X}, \tilde{d}) \rightarrow (X, d)$ un revêtement universel localement isométrique. On note $\partial_\infty \tilde{X}$ le bord à l'infini de (\tilde{X}, \tilde{d}) et Γ le groupe de revêtement de p . Un *ordre cyclique* sur $\partial_\infty \tilde{X}$ est une application $o : (\partial_\infty \tilde{X})^3 \rightarrow \{-1, 0, 1\}$, invariante pour l'action diagonale de Γ sur $(\partial_\infty \tilde{X})^3$, analogue à l'ordre cyclique sur le cercle défini par un choix d'orientation (c'est-à-dire $o(x, y, z)$ vaut 0 si x, y et z ne sont pas deux à deux distincts, vaut 1 si x, y et z sont ordonnés dans le sens direct, et -1 sinon), voir par exemple [Wol, 2.3.1].

On dit que (X, d) est *enrubanné* si $\partial_\infty \tilde{X}$ est muni d'un tel ordre cyclique o . Deux couples de points (x_1, y_1) et (x_2, y_2) de $\partial_\infty \tilde{X}$ sont dits *entrelacés* si les points sont deux à deux distincts et si $o(x_1, x_2, y_1) = -o(x_1, y_2, y_1)$, et deux géodésiques locales de (X, d) sont dites entrelacées si elles ont des relevés dans \tilde{X} dont les couples de points à l'infini sont entrelacés. On munit l'ensemble des géodésiques locales, orientées mais non paramétrées, de (X, d) de la topologie quotient de la topologie compacte-ouverte par l'action par translations à la source de \mathbb{R} sur les géodésiques locales paramétrées, que l'on appelle *topologie des géodésiques*.

1. Mots clés : Lamination géodésique, surface munie d'une structure plate à holonomie $\{\pm \text{Id}\}$, différentielle quadratique holomorphe, feuilletage singulier, surface hyperbolique. Code AMS 30,37,53,57,58.

Définition 1.1 Une lamination géodésique de (X, d, o) est un ensemble non vide Λ de géodésiques locales complètes de (X, d) , définies à changements d'origine près, dont les éléments sont appelés feuilles, tel que :

- les feuilles de Λ sont non auto-entrelacées et deux à deux non entrelacées ;
- Λ est invariant par changements d'orientation des feuilles ;
- Λ est fermé pour la topologie des géodésiques.

On appellera support de Λ la réunion $\bigcup \Lambda$ des feuilles de Λ .

Soit Σ une surface connexe (sans bord pour simplifier dans cette introduction). Une structure plate à holonomie $\{\pm \text{Id}\}$ sur Σ est la donnée d'une partie discrète Z de Σ (éventuellement vide) et d'une métrique euclidienne sur $\Sigma - Z$ à singularités coniques d'angles $k\pi$, avec $k \in \mathbb{N}$ et $k \geq 3$ aux points de Z , telle que l'holonomie de tout lacet fermé, \mathcal{C}^1 par morceaux, de $\Sigma - Z$ soit contenue dans $\{\pm \text{Id}\}$. Nous renvoyons aux parties 2.4 et 2.5 notamment pour le cas à bord. La surface munie d'une telle structure plate est alors un espace métrique (Σ, d) , localement CAT(0) et complet, qui est naturellement enrubanné (voir la remarque 2.9). Le résultat principal de cet article est le théorème suivant de classification des laminations géodésiques sur (Σ, d) , si Σ est compacte.

Théorème 1.2 Soit Λ une lamination géodésique sur une surface compacte connexe munie d'une structure plate à holonomie $\{\pm \text{Id}\}$. Alors Λ est la réunion d'un nombre fini de composantes cylindriques, de composantes minimales (de type récurrent ou graphe fini ou paire de feuilles périodiques opposées) et de feuilles isolées (pour la topologie des géodésiques) dont chacun des bouts aboutit dans une composante minimale ou dans une composante cylindrique.

Dans ce théorème, une composante cylindrique est un ensemble maximal de feuilles de Λ contenues dans un cylindre plat non dégénéré (elles sont alors périodiques), une composante minimale est une sous-lamination qui est l'adhérence, pour la topologie des géodésiques, de la réunion d'une feuille ℓ et de son inverse. Si ℓ est régulière (c'est-à-dire ne rencontre pas de singularité), alors la composante est de type récurrent (toutes ses feuilles sont alors denses dans une sous-surface à bord géodésique de Σ). Si l'image de ℓ est un graphe fini, et si ℓ n'est pas périodique, avant ou après un certain temps, alors la composante est de type graphe fini (toutes ses feuilles ont alors la même image, et aucune n'est périodique, avant ou après un certain temps). On dit qu'un bout d'une géodésique aboutit dans une composante minimale ou dans une composante cylindrique, si elle admet un rayon géodésique dont l'image est contenue dans la composante minimale ou le bord du cylindre plat correspondant. Nous renvoyons à la partie 6 pour plus de détails.

Dans la première partie, nous rappelons les propriétés principales des espaces métriques localement CAT(0) enrubannés et des surfaces munies d'une structure plate. Dans la deuxième, nous montrons que si un rayon d'une géodésique locale non auto-entrelacée d'une surface compacte munie d'une structure plate n'est pas compact, il admet un sous-rayon dense dans une sous-surface à bord totalement géodésique. Puis dans la troisième, nous établissons une correspondance naturelle (mais non bijective, ce qui nécessite un travail de fond) entre les laminations pour une structure plate et sa métrique hyperbolique complète conforme. Dans la quatrième, nous montrons que tous les graphes, connexes, finis, sans sommet terminal, sauf quatre, sont le support de laminations minimales, sur une infinité de surfaces munies de structures plates. Dans la dernière partie, nous montrons le

théorème de structure des laminations géodésiques sur les surfaces compactes munies de structures plates. Plusieurs phénomènes radicalement nouveaux apparaissent par rapport aux laminations hyperboliques : les feuilles d’une lamination plate ne sont généralement pas deux à deux disjointes, les laminations plates ne sont pas déterminées par leur support (des familles non dénombrables ont le même support), les composantes cylindriques, de longueur donnée, peuvent contenir des familles non dénombrables de feuilles. Enfin, il y a trois types de composantes minimales d’une lamination plate sur une surface compacte (feuille périodique parcourue dans les deux sens, composante minimale de type récurrent ou de type graphe fini).

Je tiens à remercier chaleureusement Frédéric Paulin pour sa disponibilité et ses relectures attentives des versions successives de cet article, ainsi que Sara Maloni, Samuel Lelièvre, Bertrand Deroin, Yves Benoist, Pierre Pansu et Sylvain Crovisier pour leurs réponses à mes nombreuses questions.

2 Définitions.

2.1 Espaces localement CAT(0).

Dans tout cet article, nous utiliserons la terminologie de [BH] concernant les espaces métriques : espaces CAT(0), géodésiques... et on appellera *germe de rayon géodésique*, ou plus simplement *germe*, une classe d’équivalence de rayons géodésiques locaux pour la relation d’équivalence $r_1 \sim r_2$ si r_1 et r_2 coïncident sur un segment initial non vide et non réduit à un point. De même, la relation $r \sim r'$ si $r \cap r'$ est un rayon géodésique local est une relation d’équivalence sur l’ensemble des rayons d’une géodésique locale. On appelle *bout* (au sens de Freudenthal) d’une géodésique locale une telle classe d’équivalence. Une géodésique locale a deux bouts.

Soient (X, d) un espace métrique localement CAT(0) et $p : (\tilde{X}, \tilde{d}) \rightarrow (X, d)$ un revêtement universel localement isométrique. Si l’espace (X, d) est complet (par exemple si X est compact), d’après le théorème de Cartan-Hadamard (voir [BH, Chap. II.4]), l’espace (\tilde{X}, \tilde{d}) est CAT(0) et complet. Dans la suite, on supposera toujours que (X, d) est complet. Nous noterons $\partial_\infty \tilde{X}$ le bord à l’infini de (\tilde{X}, \tilde{d}) et $\partial_\infty^2 \tilde{X} = \partial_\infty \tilde{X} \times \partial_\infty \tilde{X} - \Delta$ (où $\Delta = \{(x, x), x \in \partial_\infty \tilde{X}\}$), muni de la topologie induite par la topologie produit.

Soit $\ell : \mathbb{R} \rightarrow (X, d)$ une géodésique locale. On dit que ℓ est *périodique* s’il existe $T_0 > 0$ tel que pour tout $t \in \mathbb{R}$, $\ell(t + T_0) = \ell(t)$, qu’elle est *positivement (resp. négativement) périodique* s’il existe des réels strictement positifs T et T_0 tels que $\ell(t + T_0) = \ell(t)$ pour tout $t > T$ (resp. $\ell(t - T_0) = \ell(t)$ pour tout $t < -T$). On dit que ℓ est *compacte* si son image est compacte, qu’elle est *positivement (resp. négativement) compacte* si $\ell([0, +\infty[)$ (resp. $\ell(]-\infty, 0])$) est compacte. Si ℓ est périodique ou positivement périodique, elle est aussi compacte ou positivement compacte, mais la réciproque est fautive (voir le lemme 5.2).

On note \mathcal{G} l’ensemble des géodésiques locales paramétrées de (X, d) et $\tilde{\mathcal{G}}$ l’ensemble des géodésiques paramétrées de (\tilde{X}, \tilde{d}) (puisque \tilde{X} est simplement connexe, les géodésiques locales de (\tilde{X}, \tilde{d}) sont des géodésiques). Alors \mathbb{R} agit sur \mathcal{G} et $\tilde{\mathcal{G}}$ par translations à la source. On note \mathcal{G}_{np} et $\tilde{\mathcal{G}}_{np}$ les quotients de \mathcal{G} et $\tilde{\mathcal{G}}$ pour ces actions, c’est-à-dire les ensembles des géodésiques locales définies à changements d’origine près. Si ℓ appartient à \mathcal{G} , on note toujours ℓ sa classe dans \mathcal{G}_{np} . On appellera indistinctement *topologie des géodésiques* la

topologie compacte-ouverte sur \mathcal{G} et $\tilde{\mathcal{G}}$ et la topologie quotient de la topologie compacte-ouverte pour l'action par translations de \mathbb{R} sur \mathcal{G}_{np} et $\tilde{\mathcal{G}}_{np}$.

Si $\tilde{\ell}$ appartient à $\tilde{\mathcal{G}}$, elle est propre et converge vers deux points distincts de $\partial_\infty \tilde{X}$ lorsque t tend vers $\pm\infty$ et on note $E(\tilde{\ell}) = (\tilde{\ell}(-\infty), \tilde{\ell}(+\infty)) \in \partial_\infty^2 \tilde{X}$. Si F est un ensemble de géodésiques de $\tilde{\mathcal{G}}$, on note $E(F) = \{E(\ell), \ell \in F\}$.

Enfin, si ℓ est une géodésique locale, on note ℓ^- la géodésique locale d'orientation opposée définie par $\ell^-(t) = \ell(-t)$, et si F est un ensemble de géodésiques locales, on note $\bigcup F$ la réunion de F appelée le *support* de F . Puisqu'elles ne dépendent pas du paramétrage, ces définitions se prolongent aux géodésiques locales non paramétrées. On utilisera indistinctement les conventions précédentes pour tous les espaces métriques considérés.

2.2 Ordres cycliques.

Soient X un ensemble et X^3 l'ensemble des triplets de points de X . Un *ordre cyclique (total)* sur X est une fonction $o : X^3 \rightarrow \{-1, 0, 1\}$ telle que :

- pour tout $(x, y, z) \in X^3$, si $\text{Card}(\{x, y, z\}) \leq 2$, alors $o(x, y, z) = 0$;
- pour tout $(x, y, z) \in X^3$, $o(x, y, z) = o(y, z, x) = -o(x, z, y)$;
- pour tous les quadruplets (x, y, z, t) d'éléments deux à deux distincts de X , si $o(x, y, z) = 1$ et $o(x, z, t) = 1$, alors $o(x, y, t) = 1$.

L'ordre cyclique \bar{o} opposé à o est défini par $\bar{o}(x, y, z) = -o(x, y, z)$ pour tout triplet $(x, y, z) \in X^3$. Si X est un espace topologique et si X^3 est muni de la topologie produit, on demande que la restriction de o au sous-ensemble des triplets d'éléments deux à deux distincts soit continue. Si X est muni d'une action d'un groupe Γ , on demande que o soit invariante pour l'action diagonale de Γ sur X^3 . Nous renvoyons par exemple à [Wol, 2.3.1] pour des compléments sur les ordres cycliques.

2.3 Laminations géodésiques.

Soient (X, d) un espace métrique connexe localement CAT(0) (complet) et $p : (\tilde{X}, \tilde{d}) \rightarrow (X, d)$ un revêtement universel localement isométrique. On suppose qu'il existe un ordre cyclique o sur $\partial_\infty \tilde{X}$ (invariant par l'action diagonale du groupe de revêtement de p et dont la restriction aux triplets de points deux à deux distincts est continue). On dit alors que le triplet (X, d, o) est un espace métrique localement CAT(0) *enrubanné*. Deux couples de points (x_1, y_1) et (x_2, y_2) de $\partial_\infty \tilde{X}$ sont dits *entrelacés* si les points sont deux à deux distincts et si $o(x_1, x_2, y_1) = -o(x_1, y_2, y_1)$.

Définition 2.1 *Deux géodésiques de (\tilde{X}, \tilde{d}) sont dites entrelacées si leurs couples de points à l'infini sont entrelacés. Deux géodésiques locales ℓ_1 et ℓ_2 de (X, d) sont dites entrelacées s'il existe des relevés de ℓ_1 et ℓ_2 dans \tilde{X} qui sont entrelacés. Si ℓ_1 est entrelacée avec elle-même, elle est dite auto-entrelacée.*

Nous verrons dans la partie 3.1 des caractérisations des géodésiques locales non entrelacées ou auto-entrelacée, dans le cas particulier des surfaces munies de structures plates.

Définition 2.2 *Une lamination géodésique (ou plus simplement lamination) de (X, d, o) est un ensemble non vide Λ de géodésiques locales de (X, d) , définies à changements d'origine près, dont les éléments sont appelés feuilles, tel que :*

- aucune feuille de Λ n'est auto-entrelacée ;
- les feuilles de Λ sont deux à deux non entrelacées ;
- si ℓ appartient à Λ alors ℓ^- aussi ;
- Λ est fermé pour la topologie des géodésiques.

Remarque. Cette définition généralise les laminations hyperboliques (voir la partie 4.1). D'autres types de laminations, dans des arbres réels, ont été introduites par M. Bestvina, M. Feighn et M. Handel (voir [BFH]) et par T. Coulbois, A. Hilion et M. Lustig (voir [CHL]), mais ce ne sont pas des arbres enrubannés.

Soient $p' : (X', d') \rightarrow (X, d)$ un revêtement localement isométrique de (X, d) , Λ une lamination de (X, d) et Λ' l'ensemble des relevés des feuilles de Λ dans X' . Alors il existe un revêtement universel $q : (\tilde{X}, \tilde{d}) \rightarrow (X', d')$ tel que $p = p' \circ q$, et les ensembles de relevés des géodésiques locales de Λ et Λ' dans \tilde{X} sont égaux. Donc les géodésiques locales de Λ' sont deux à deux non entrelacées et aucune n'est auto-entrelacée. De plus, puisque p' est localement isométrique, l'ensemble Λ' est fermé, comme Λ , pour la topologie des géodésiques, et si ℓ' appartient à Λ' , alors ℓ'^- aussi. Donc Λ' est une lamination de (X', d') , que l'on appelle *image réciproque de Λ par p'* . Dans cet article, l'espace (\tilde{X}, \tilde{d}) sera généralement δ -hyperbolique (au sens de Gromov) pour un certain $\delta \geq 0$ (voir [BH, Déf. 1.1 p. 399]), et propre. On rappelle un résultat bien connu, découlant du théorème d'Ascoli.

Lemme 2.3 *Soit (Z, d) un espace métrique propre. L'ensemble des géodésiques de (Z, d) (définies sur \mathbb{R} , parcourues à vitesse 1) dont l'origine appartient à un compact de Z est compact pour la topologie compacte-ouverte. \square*

Du lemme 2.3 on déduit les quatres lemmes élémentaires suivants, avec (Z, d) un espace métrique géodésique, CAT(0) et propre, dont la démonstration est laissée au lecteur.

Lemme 2.4 *Soit F un ensemble de géodésiques définies à changements d'origines près, qui est fermé pour la topologie des géodésiques. Alors $\bigcup F$ est fermé dans Z . \square*

Lemme 2.5 *Soit Y un ensemble fermé de $\partial_\infty^2 Z$ et F l'ensemble de toutes les géodésiques ℓ de (Z, d) telles que $E(\ell)$ appartient à Y . Alors F est fermé pour la topologie des géodésiques et donc $\bigcup F$ est fermé dans Z . \square*

Lemme 2.6 *Supposons de plus que l'espace (Z, d) est δ -hyperbolique, avec $\delta \geq 0$. Soient $(\ell_n)_{n \in \mathbb{N}}$ une suite de géodésiques (non paramétrées mais orientées) de (Z, d) et pour tout $n \in \mathbb{N}$, (x_n, y_n) le couple de ses points à l'infini. Si la suite $(x_n, y_n)_{n \in \mathbb{N}}$ converge vers (x, y) dans $\partial_\infty^2 Z$, alors quitte à extraire, la suite $(\ell_n)_{n \in \mathbb{N}}$ converge vers une géodésique de (Z, d) , pour la topologie des géodésiques, dont le couple de points à l'infini est (x, y) . \square*

Lemme 2.7 *On suppose toujours que (Z, d) est δ -hyperbolique (avec $\delta \geq 0$). Soient F un ensemble de géodésiques de (Z, d) , fermé pour la topologie des géodésiques et Y_F l'ensemble des couples de points à l'infini des éléments de F . Alors Y_F est fermé dans $\partial_\infty^2 Z$. \square*

2.4 Structures plates à holonomie $\{\pm \text{Id}\}$.

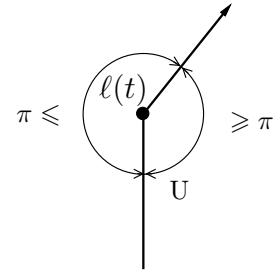
Sauf mention du contraire, dans tout cet article, on notera Σ une surface connexe, orientable, à bord (éventuellement vide).

Supposons que Σ soit munie d'une métrique euclidienne sur $\Sigma - Z$, où Z est une partie discrète de Σ . Si l'holonomie de tout lacet fermé, \mathcal{C}^1 par morceaux, de $\Sigma - Z$ est contenue dans $\{\pm \text{Id}\}$, on dit que deux vecteurs tangents v_1 et v_2 à Σ sont *de même direction*, si v_2 est l'image de $\pm v_1$ par holonomie le long d'un chemin \mathcal{C}^1 par morceaux de $\Sigma - Z$ entre les points bases de v_1 et v_2 . Cette définition ne dépend pas du choix du chemin. On dit qu'un chemin, ou une réunion de chemins, \mathcal{C}^1 par morceaux est *de direction constante*, si tous ses vecteurs tangents, aux points appartenant à $\Sigma - Z$, sont de même direction.

Définition 2.8 Une structure plate à holonomie $\{\pm \text{Id}\}$ sur une surface Σ est la donnée d'une partie discrète Z de Σ (éventuellement vide) et d'une métrique euclidienne sur $\Sigma - Z$ à singularité conique d'angle $k_z \pi$ en $z \in Z$, avec $k_z \in \mathbb{N}$ et $k_z \geq 3$ si $z \in Z - Z \cap \partial \Sigma$ et $k_z \geq 2$ si $z \in Z \cap \partial \Sigma$, telle que l'holonomie de tout lacet fermé, \mathcal{C}^1 par morceaux, de $\Sigma - Z$ soit contenue dans $\{\pm \text{Id}\}$ et telle que la réunion des composantes connexes du bord soit de direction constante.

Nous donnerons dans la partie 2.5 des caractérisations des structures plates à holonomie $\{\pm \text{Id}\}$. Lorsqu'il n'y a pas d'ambiguïté, on appellera simplement *structure plate* une structure plate à holonomie $\{\pm \text{Id}\}$. Une structure plate est munie d'une distance géodésique qui est localement CAT(0), que l'on notera d . On supposera toujours que (Σ, d) est complet. Nous appellerons *géodésiques locales plates* les géodésiques locales d'une structure plate. Une application continue $\ell : \mathbb{R} \rightarrow \Sigma$ est une géodésique locale plate (pour d) si et seulement si elle vérifie (voir [Str, Th. 5.4 p.24] et [Str, Th. 8.1 p. 35]) :

- pour tout $t \in \mathbb{R}$ tel que $\ell(t)$ n'appartient pas à Z , il existe un voisinage V de t dans \mathbb{R} tel que $\ell|_V$ soit un segment euclidien (donc de direction constante).
- pour tout $t \in \mathbb{R}$, si $\ell(t)$ appartient à Z , alors les deux angles définis par les germes $\ell([t, t + \varepsilon[)$ et $\ell(]t - \varepsilon, t])$, avec $\varepsilon > 0$ assez petit, mesurés dans chaque composante connexe de $U - \ell(]t - \varepsilon, t + \varepsilon[)$, où U est un voisinage assez petit de $\ell(t)$, sont supérieurs ou égaux à π .



Une *liaison de singularités* d'une structure plate est un segment géodésique local entre deux singularités (éventuellement confondues) qui ne rencontre pas de singularité en dehors de ses extrémités. Puisque les géodésiques locales ne changent de direction qu'au plus aux singularités, une liaison de singularités est de direction constante.

Soit $p : (\tilde{\Sigma}, \tilde{d}) \rightarrow (\Sigma, d)$ un revêtement universel localement isométrique de (Σ, d) . L'espace métrique $(\tilde{\Sigma}, \tilde{d})$ est une surface munie d'une structure plate, qui est CAT(0) et propre. Nous noterons $\partial_\infty \tilde{\Sigma}$ son bord à l'infini.

Remarque 2.9 Si (Σ, m) est une surface connexe, orientable, sans bord, munie d'une métrique hyperbolique complète, et si $p : (\tilde{\Sigma}, \tilde{m}) \rightarrow (\Sigma, m)$ est un revêtement universel riemannien, alors le bord à l'infini de $\tilde{\Sigma}$ est homéomorphe à \mathbb{S}^1 (voir [BH, Ex. 8.11 (2) p.265]). Donc les ordres opposés usuels de \mathbb{S}^1 induisent deux ordres opposés sur $\partial_\infty \tilde{\Sigma}$. De même, si le bord de Σ n'est pas vide et totalement géodésique, alors (Σ, m) se plonge isométriquement dans une (unique à isométrie près) surface orientable et hyperbolique (complète),

sans bord, soit (Σ', m') , qui se rétracte par déformation forte sur Σ . Alors $\partial_\infty \tilde{\Sigma}$ est un sous-ensemble fermé du bord à l'infini $\partial_\infty \tilde{\Sigma}'$ d'un revêtement universel (riemannien) de Σ' (voir [BH, Ex. 8.11 (4) p.266]) et les ordres opposés sur $\partial_\infty \tilde{\Sigma}'$ induisent par restrictions des ordres opposés sur $\partial_\infty \tilde{\Sigma}$. Si de plus Σ est compacte et $\chi(\Sigma) < 0$, et si on note Γ_Σ le groupe de revêtement de $p : \tilde{\Sigma} \rightarrow \Sigma$, alors il existe un unique homéomorphisme Γ_Σ -équivariant entre $\partial_\infty \Gamma_\Sigma$ et le bord à l'infini de $(\tilde{\Sigma}, \tilde{d})$ pour n'importe quelle distance localement CAT(0) d sur Σ , où $p : (\tilde{\Sigma}, \tilde{d}) \rightarrow (\Sigma, d)$ est localement isométrique, par lequel on les identifie. On peut donc définir cet ordre cyclique sur le bord à l'infini de $(\tilde{\Sigma}, \tilde{d})$ pour n'importe quelle distance géodésique localement CAT(0) complète d sur Σ .

Dans la suite, on ne considérera que l'ordre cyclique o_∞ ainsi défini sur le bord à l'infini d'un revêtement universel d'une surface munie d'une structure plate compacte (et son opposé), et on ne le précisera pas. Si on choisit une orientation de $\tilde{\Sigma}$ et si or_x désigne l'ordre cyclique induit par l'orientation de $\tilde{\Sigma}$ sur les germes de rayons géodésiques issus d'un point x de $\tilde{\Sigma}$, quitte à remplacer l'ordre cyclique o_∞ par son opposé, si a, b, c sont trois points deux à deux distincts de $\partial_\infty \tilde{\Sigma}$ et si les germes r_a, r_b, r_c des rayons géodésiques $[x, a], [x, b], [x, c]$ sont deux à deux distincts, on a

$$or_x(r_a, r_b, r_c) = o_\infty(a, b, c). \quad (1)$$

Remarque 2.10 Si Σ est compacte et si $\chi(\Sigma) < 0$, alors tout revêtement universel (localement isométrique) $(\tilde{\Sigma}, \tilde{d})$ de (Σ, d) est δ -hyperbolique avec $\delta > 0$. De ce fait, pour tout couple de points distincts (x, y) de $\partial_\infty \tilde{\Sigma}$, il existe au moins une géodésique de $(\tilde{\Sigma}, \tilde{d})$ dont le couple de points à l'infini est (x, y) (voir [BH, Lem. 3.2 p. 428]). Dans la suite, on utilisera ce fait sans le mentionner.

2.5 Différentielles quadratiques holomorphes et structures plates dirigées.

Soit Σ une surface comme dans la partie 2.4. Nous utiliserons la définition de structure de surface de Riemann à bord sur Σ de [Str, Déf. 1.2 p. 2]). Le bord de Σ est l'ensemble des points x de Σ tels qu'il existe une carte de cette structure contenant x , envoyant x sur l'axe réel, ce qui ne dépend pas de la carte. Muni de la restriction des cartes, c'est une variété analytique réelle de dimension 1, non connexe a priori.

Définition 2.11 Une différentielle quadratique holomorphe sur Σ est la donnée d'une structure de surface de Riemann à bord X sur Σ et d'une famille q de fonctions holomorphes $(q_{U,z} : U \rightarrow \mathbb{C})_{(U,z) \in X}$ telles que pour toutes les cartes locales (U, z) et (V, w) de X , on a

- (1) $q_{U,z} dz^2 = q_{V,w} dw^2$ sur $U \cap V$;
- (2) l'image $q_{U,z}(U \cap \partial\Sigma)$ de $U \cap \partial\Sigma$ est contenue dans $\mathbb{R}^- =]-\infty, 0]$.

Remarque. D'après la condition (1), il suffit de définir les différentielles quadratiques holomorphes $q_{U,z}$ pour une sous-famille de cartes locales qui recouvre Σ . Cette famille peut être finie si Σ est compacte. Si (U, z) et (V, w) sont des cartes locales et si $y \in U \cap V$, alors $q_{V,w}(y) = q_{U,z}(y) \frac{dz(v)^2}{dw(v)^2}$. Donc $q_{V,w}(y) \in \mathbb{R}^-$ si et seulement si $q_{U,z}(y) \in \mathbb{R}^-$, et il suffit de vérifier la deuxième condition pour une sous-famille de cartes locales qui recouvre le bord. Cette condition impose que l'image d'un segment du bord par un paramètre naturel (voir par exemple [Str, 5.1 p. 21]), défini par q au voisinage d'un point régulier, soit vertical.

On note $\tilde{\mathcal{Q}}(\Sigma)$ l'ensemble des différentielles quadratiques holomorphes sur Σ et seulement q une différentielle quadratique holomorphe (X, q) lorsque la structure sous-jacente est sous-entendue.

Remarque. Soient $p : \Sigma' \rightarrow \Sigma$ un revêtement de Σ et (X, q) une différentielle quadratique holomorphe sur Σ . Le couple de la structure de surface de Riemann à bord X' tirée en arrière de X sur Σ' et de la famille $q' = (q_{p(V), z \circ (p|_V)^{-1}} \circ p|_V)_{(V, z)}$, où (V, z) parcourt l'ensemble des cartes locales de X' telles que $p|_V$ est un difféomorphisme sur son image définit une différentielle quadratique holomorphe sur Σ' , dite relevée de (X, q) , d'après la remarque précédente.

Le groupe $\text{Diff}_0(\Sigma)$ des isotopies de Σ qui fixent point par point $\partial\Sigma$ et sont homotopes à l'identité par des applications qui fixent point par point $\partial\Sigma$, agit sur $\tilde{\mathcal{Q}}(\Sigma)$ par précomposition des cartes et des expressions des différentielles quadratiques holomorphes dans ces cartes. On note $\mathcal{Q}(\Sigma)$ le quotient de $\tilde{\mathcal{Q}}(\Sigma)$ par cette action.

Définition 2.12 Une structure plate dirigée sur Σ est la donnée :

- d'une partie discrète Z de Σ (éventuellement vide) ;
- d'une métrique euclidienne à singularité conique d'angle $k_z\pi$ en $z \in Z$, avec $k_z \in \mathbb{N}$ et $k_z \geq 3$ si $z \in Z - Z \cap \partial\Sigma$ et $k_z \geq 2$ si $z \in Z \cap \partial\Sigma$;
- d'un champ de droites parallèle V sur $\Sigma - Z$, tel que pour tout $x \in \partial\Sigma - Z \cap \partial\Sigma$, la droite $V(x)$ soit contenue dans $T_x\partial\Sigma$.

Le groupe $\text{Diff}_0(\Sigma)$ agit sur l'ensemble des structures plates dirigées sur Σ par tirés en arrière de la métrique et du champ de droite parallèle. On note $\widetilde{\text{Plat}}(\Sigma)$ le quotient de l'ensemble des structures plates dirigées par cette action (voir la fin de cette partie pour une explication de la notation).

La donnée d'une différentielle quadratique holomorphe définit une métrique euclidienne à singularités coniques du bon type sur Σ et, un champ de droites parallèles (verticales) sur le complémentaire des singularités. L'application qui à une différentielle quadratique holomorphe associe cette structure plate dirigée est $\text{Diff}_0(\Sigma)$ -équivariante et définit une application de $\mathcal{Q}(\Sigma)$ dans $\widetilde{\text{Plat}}(\Sigma)$, qui est une bijection car Σ est orientable, par laquelle on identifie $\mathcal{Q}(\Sigma)$ et $\widetilde{\text{Plat}}(\Sigma)$.

Le groupe $(\mathbb{R}, +)$ agit sur $\mathcal{Q}(\Sigma)$ par l'application $(\theta, (X, q)) \mapsto (X, e^{2i\theta}q)$. Si $(X, q) \in \mathcal{Q}(\Sigma)$, on note $(X, [q])$, ou plus simplement $[q]$, sa classe d'équivalence pour cette action. De même, il agit sur l'ensemble $\widetilde{\text{Plat}}(\Sigma)$ par rotation des champs de vecteurs parallèles. De plus, la bijection entre $\mathcal{Q}(\Sigma)$ et $\widetilde{\text{Plat}}(\Sigma)$ est équivariante pour ces actions et définit une bijection entre les espaces quotients.

Une structure plate dirigée est en particulier une structure plate à holonomie $\{\pm \text{Id}\}$, d'après l'existence d'un champ de droites parallèles. Il existe donc une application d'oubli de l'ensemble des structures plates dirigées dans l'ensemble des structures plates à holonomie $\{\pm \text{Id}\}$, qui est invariante pour l'action par rotation de \mathbb{R} . Elle définit donc une application du quotient de $\widetilde{\text{Plat}}(\Sigma)$ par cette action à valeurs dans l'ensemble des structures plates à holonomie $\{\pm \text{Id}\}$, qui est une bijection. On identifie ainsi l'ensemble des structures plates à holonomie $\{\pm \text{Id}\}$ avec l'espace quotient $\text{Plat}(\Sigma) = \mathbb{R} \backslash \widetilde{\text{Plat}}(\Sigma)$, et on notera $[q]$, avec $q \in \mathcal{Q}(\Sigma)$, une structure plate à holonomie $\{\pm \text{Id}\}$.

3 Comportement des géodésiques locales d'une structure plate.

Soient $(\Sigma, [q])$ une surface comme dans la partie 2.4 munie d'une structure plate (à holonomie $\{\pm \text{Id}\}$) et $p : (\tilde{\Sigma}, [\tilde{q}]) \rightarrow (\Sigma, [q])$ un revêtement universel localement isométrique. On note or_x l'ordre cyclique sur l'ensemble des germes de rayons issus d'un point x induit par un choix de l'orientation de la surface et o_∞ l'ordre sur $\partial_\infty \tilde{\Sigma}$ défini dans la remarque 2.9.

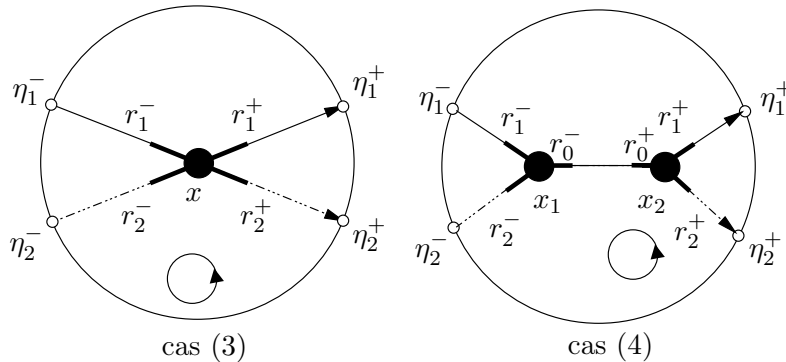
3.1 Comportement de deux géodésiques locales d'une structure plate.

Soient ℓ_1 et ℓ_2 deux géodésiques locales paramétrées de $(\Sigma, [q])$ telles qu'il existe $I \subset \mathbb{R}$ un intervalle maximal compact, non vide mais éventuellement réduit à un point, tel que $\ell_{1|I} = \ell_{2|I}$. Dans la suite, on notera alors $t_1 \leq t_2$ tels que $I = [t_1, t_2]$, $x_1 = \ell_1(t_1)$, $x_2 = \ell_1(t_2)$, et $r_1^-, r_2^-, r_1^+, r_2^+$ les germes des rayons géodésiques $\ell_1([t_1 - \varepsilon, t_1])$, $\ell_2([t_1 - \varepsilon, t_1])$, $\ell_1([t_2, t_2 + \varepsilon])$, $\ell_2([t_2, t_2 + \varepsilon])$ issus de x_1 et x_2 , et si $t_1 \neq t_2$, r_0^-, r_0^+ les germes de $\ell_1([t_1, t_1 + \varepsilon]) = \ell_2([t_1, t_1 + \varepsilon])$ et $\ell_1([t_2 - \varepsilon, t_2]) = \ell_2([t_2 - \varepsilon, t_2])$, pour un $\varepsilon > 0$ assez petit (voir la figure du lemme).

Soient $\tilde{\ell}_1$ et $\tilde{\ell}_2$ deux géodésiques de $(\tilde{\Sigma}, [\tilde{q}])$. Par définition des ordres cycliques, $\tilde{\ell}_1$ et $\tilde{\ell}_2$ ne sont pas entrelacées si et seulement si $\tilde{\ell}_1^i$ et $\tilde{\ell}_2^j$ ne sont pas entrelacées (pour tout $i, j \in \{+, -\}$). Donc si leurs images sont confondues le long d'un segment ou un rayon géodésique, on peut les paramétrer pour que leurs restrictions au segment ou rayon soient égales. Or, puisque l'espace $(\tilde{\Sigma}, [\tilde{q}])$ est CAT(0) et les géodésiques sont continues, si l'intersection des images de $\tilde{\ell}_1$ et $\tilde{\ell}_2$ n'est pas vide, c'est une réunion connexe et fermée de liaisons de singularités et (éventuellement) de rayons géodésiques d'origine singulière. De plus, les géodésiques ne changent de direction qu'au plus aux singularités, donc si les géodésiques n'ont pas la même image, les (ou l'unique) extrémités de $\tilde{\ell}_1(\mathbb{R}) \cap \tilde{\ell}_2(\mathbb{R})$ sont des singularités. D'après la formule (1), on a le lemme suivant et son corollaire.

Lemme 3.1 *Deux géodésiques $\tilde{\ell}_1$ et $\tilde{\ell}_2$ de $(\tilde{\Sigma}, [\tilde{q}])$ ne sont pas entrelacées si et seulement si, en reprenant les notations précédentes, l'une des conditions exclusives suivantes est vérifiées :*

- (1) *elles sont disjointes ;*
- (2) *elles sont confondues au moins le long d'un rayon géodésique ;*
- (3) *elles s'intersectent en un unique point x et $or_x(r_1^+, r_2^+, r_1^-) = or_x(r_1^+, r_2^-, r_1^-)$;*
- (4) *quitte à changer d'orientation et d'origines, leurs restrictions à un segment géodésique maximal $[x_1, x_2]$ non réduit à un point sont égales, et $or_{x_2}(r_1^+, r_2^+, r_0^+) = -or_{x_1}(r_1^-, r_2^-, r_0^-)$.*



□

Si ℓ_1 et ℓ_2 sont des géodésiques locales d'images disjointes de $(\Sigma, [q])$ qui ne s'intersectent pas, leurs relevés sont deux à deux disjoints et d'après le lemme 3.1, elles ne sont pas entrelacées. Si elles s'intersectent, puisque p préserve l'orientation, on a les deux corollaires suivants.

Corollaire 3.2 *Si ℓ_1 et ℓ_2 s'intersectent, elles ne sont pas entrelacées si et seulement si l'intersection de ℓ_1 et ℓ_2 est une réunion fermée non vide de singularités, de liaisons de singularités et de rayons géodésiques locaux d'origine singulière (qui n'est pas nécessairement connexe), et si de plus elles vérifient : pour chaque intervalle maximal $I \subset \mathbb{R}$ tel que, quitte à changer d'orientation et d'origines, en reprenant les notations précédentes, l'une des conditions exclusives suivantes est vérifiées.*

- I est de la forme $[t, +\infty[$ ou $]-\infty, t]$, avec $t \in \mathbb{R}$;
- $I = \{t\}$, et si $x = \ell_1(t)$, on a $or_x(r_1^+, r_2^+, r_1^-) = or_x(r_1^+, r_2^-, r_1^-)$;
- $I = [t_1, t_2]$ et si $x_1 = \ell_1(t_1)$ et $x_2 = \ell_1(t_2)$, on a $or_{x_2}(r_1^+, r_2^+, r_0^+) = -or_{x_1}(r_1^-, r_2^-, r_0^-)$. □

Corollaire 3.3 *Si ℓ_1 et ℓ_2 sont deux géodésiques locales de $(\Sigma, [q])$ qui s'intersectent en un point x qui n'est pas une singularité, et dont les images ne sont pas confondues au voisinage de x , alors ℓ_1 et ℓ_2 sont entrelacées.* □

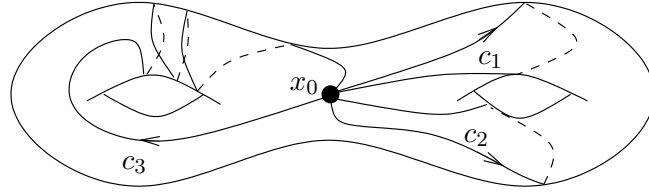
3.1.1 Géodésiques locales non auto-entrelacées.

On suppose dans cette partie que la surface Σ est de plus compacte de genre $g \geq 2$, et on note $b \in \mathbb{N}$ le nombre de composantes connexes de son bord. Soient x_0 un point de Σ et $B = (c_1, \dots, c_n)$ une suite finie d'arcs orientés simples fermés en x_0 , que l'on peut supposer paramétrés par $[0, 1]$ avec $c_i(0) = c_i(1) = x_0$ pour tout $i = 1, \dots, n$, tels que pour tout $k \neq p$, on ait $c_k([0, 1]) \cap c_p([0, 1]) = \{x_0\}$. On note, par abus, encore B la réunion $c_1 \cup \dots \cup c_n$. On munit Σ de la distance associée à une métrique hyperbolique à bord totalement géodésique quelconque sur Σ . Soient F_1, \dots, F_k les complétés des composantes connexes de $\Sigma - B$ (pour la métrique riemannienne induite). Pour tout $i = 1, \dots, k$, F_i est une surface (topologique) à bord.

Lemme 3.4 *La caractéristique d'Euler de Σ vérifie $\chi(\Sigma) = 1 - n + \sum_1^k \chi(F_i)$.*

Démonstration. Pour tout complété F_i d'une composante connexe de $\Sigma - B$, si c est une composante du bord de F_i , on note $V_{i,c} \simeq c \times [0, \varepsilon] \subset F_i$, avec $\varepsilon > 0$ assez petit, un voisinage tubulaire de c dans F_i , et F'_i le complété de $F_i - \coprod_c V_{i,c}$ pour la métrique induite, où c parcourt l'ensemble des composantes du bord de F_i . Puisque F_i se rétracte par déformation forte sur F'_i , on a $\chi(F'_i) = \chi(F_i)$. De plus, pour tout $i = 1, \dots, k$, la sous-surface à bord F'_i se plonge dans Σ . On note U la réunion des images dans Σ des voisinages $V_{i,c}$, pour $i = 1, \dots, k$ et c une composante du bord de F_i . Alors U se rétracte par déformation forte sur B , donc $\chi(U) = \chi(B)$, et Σ est la réunion de U et des images des F'_i dans Σ (que l'on note toujours F'_i car elles se plongent dans Σ). Pour toute sous-surface à bord F'_i , l'intersection $F'_i \cap U$ est homéomorphe à un cercle, de caractéristique d'Euler nulle, et $\chi(\Sigma) = \chi(U) + \sum_1^k \chi(F'_i) = \chi(B) + \sum_1^k \chi(F_i)$. Enfin $\chi(\Sigma) = 1 - n + \sum_1^k \chi(F_i)$. □

On dit que la suite finie (c_1, \dots, c_n) est un *bouquet plongé essentiel* en x_0 si de plus aucun arc c_i n'est librement homotope à un point, et si pour k, p distincts dans $\{1, \dots, n\}$, c_k n'est homotope ni à c_p ni à $\overline{c_p}$ relativement à x_0 (où $\overline{c_p}$ est défini par $\overline{c_p}(t) = c_p(1 - t)$).



Lemme 3.5 *Si $B = (c_1, \dots, c_n)$ est un bouquet plongé en x_0 , alors $n \leq 6g + 3b - 3$.*

Démonstration. Soient F_1, \dots, F_k comme ci-dessus. Pour tout $i = 1, \dots, k$, si F_i n'est pas un disque, alors $\chi(F_i) \leq 0$. De plus, si F_i est un disque, il est bordé par au moins 3 arcs de la suite finie, car sinon il existerait deux arcs homotopes relativement à x_0 , ou un arc homotope à un point. De plus, chaque arc ne borde, au plus, que deux composantes connexes de $\Sigma - B$. Quitte à renuméroter, on peut supposer que les composantes F_1, \dots, F_p (où $p \leq k$) sont tous les disques. Alors $p \leq \frac{2n}{3}$. Or, d'après le lemme 3.4, on a $\chi(\Sigma) = 1 - n + \sum_1^k \chi(F_i)$. Puisque la caractéristique d'Euler d'un disque est 1 et $\chi(F_i) \leq 0$ si $i > p$, on a $\chi(\Sigma) \leq 1 - n + \frac{2n}{3} = 1 - \frac{n}{3}$. Puisque $\chi(\Sigma) = 2 - 2g - b$, on a bien $n \leq 6g + 3b - 3$. \square

Corollaire 3.6 *Si x et y sont deux points distincts de Σ et si $C = (c_1, \dots, c_n)$ est une suite finie d'arcs simples joignant x à y qui sont deux à deux non homotopes relativement à x et y , et sont disjoints en dehors de x et y , alors $n \leq 6g + 3b - 2$.*

Démonstration. En écrasant c_1 en un point par une application continue de Σ qui est un homéomorphisme en dehors de c_1 , on obtient un bouquet de $n - 1$ arcs fermés simples en un point de Σ . D'après le lemme 3.5, on a $n - 1 \leq 6g + 3b - 3$, donc $n \leq 6g + 3b - 2$. \square

On considère de nouveau une structure plate $[q]$ sur Σ . Puisque Σ est compacte, le nombre k de singularités de $[q]$ est fini. Si $\ell : \mathbb{R} \rightarrow \Sigma$ est une géodésique locale et R est un segment géodésique local de longueur finie, on dit que ℓ parcourt R s'il existe au moins un intervalle compact I de \mathbb{R} tel que $\ell(I) = R$. Nous aurons besoin du lemme bien connu suivant.

Lemme 3.7 *Soient (X, d) un espace géodésique localement CAT(0) et (x, y) un couple de points de X . Alors il existe un unique segment géodésique dans chaque classe d'homotopie relative d'arcs joignant x à y . \square*

Lemme 3.8 *Soit F une famille de géodésiques locales non auto-entrelacées de $(\Sigma, [q])$ qui sont deux à deux non entrelacées. Alors il y a au plus $k^2 \cdot (6g + 3b - 2)$ liaisons de singularités qui sont parcourues par une géodésique locale de F .*

Démonstration. Soient h et h' deux liaisons de singularités distinctes joignant deux singularités x et y de $[q]$. Puisqu'une liaison de singularités est de direction constante, si h et h' s'intersectent en dehors de leurs extrémités, cette intersection est transverse. Donc, d'après le corollaire 3.3, si h et h' sont parcourues par des géodésiques de F , elles ne s'intersectent pas en dehors de leurs extrémités. De plus, d'après le lemme 3.7, elles ne sont pas homotopes relativement à x et y . Donc, quitte à les ordonner, la famille des liaisons de singularités joignant x et y est une suite d'arcs simples satisfaisant les hypothèses du corollaire 3.6, donc il y en a au plus $6g + 3b - 2$.

Puisque $[q]$ n'a que k singularités, il y a k^2 couples de singularités. Donc il y a au plus $k^2 \cdot (6g + 3b - 2)$ liaisons de singularités qui sont parcourues par une géodésique de F . \square

Lemme 3.9 Soit $\ell : \mathbb{R} \rightarrow \Sigma$ une géodésique locale non auto-entrelacée qui n'est pas positivement compacte. Il existe $T > 0$ tel que $\ell|_{[T, +\infty[}$ est de direction constante.

Démonstration. D'après le lemme 3.8 appliqué à $F = \{\ell\}$, il n'y a qu'un nombre fini de liaisons de singularités qui sont parcourues par ℓ . Puisque toutes les liaisons de singularités sont compactes, la réunion des liaisons de singularités parcourues par ℓ est compacte. Donc ℓ ne rencontre pas de singularité à partir d'un certain temps. Elle est alors de direction constante à partir de ce temps. \square

Si q est une différentielle quadratique holomorphe sur Σ , une *trajectoire* de q est un segment géodésique local, vertical, maximal, pour q , ne rencontrant pas de singularité (voir [Str, Déf. 5.5.3 p.25]). Si $\ell : I \rightarrow \Sigma$ est un paramétrage d'une trajectoire (I est alors un intervalle ouvert), un *rayon de trajectoire* de ℓ est une application r de la forme $\ell|_{[T, a[}$ ou $\ell|_{]a, T]}$, avec $a \in \mathbb{R}$ et $T \in I$ tels que $[T, a[= I \cap [T, +\infty[$ ou $]a, T] = I \cap]-\infty, T]$. Cette définition ne dépend pas du paramétrage de ℓ , quitte à changer les valeurs de T et a . Alors si $a < +\infty$ et en reparamétrant r sur $[0, |a - T|]$, on dit que r converge vers une singularité x de q si $r(t) \xrightarrow[t \rightarrow |a - T|^-]{} x$. Si $a = \pm\infty$, on dit que r est récurrent s'il est dense dans un *domaine*, c'est-à-dire une sous-surface bordée par des feuilles verticales périodiques rencontrant au moins une singularité, du feuilletage vertical de q (voir [Str, p.53]).

Lemme 3.10 (Voir [Str, 11.4 p.53]) Les trajectoires d'une différentielle quadratique holomorphe q d'une surface compacte à bord (éventuellement vide) Σ sont classées dans les familles suivantes :

- (1) Les trajectoires périodiques. Elles feuilletent des cylindres plats ouverts.
- (2) Les trajectoires non périodiques.
 - (2.a) Les trajectoires critiques, dont au moins un rayon converge vers une singularité. Il n'y a qu'un nombre fini de trajectoires critiques. Si un rayon d'une trajectoire critique ne converge pas vers une singularité, il admet un sous-rayon récurrent.
 - (2.b) Les spirales, c'est-à-dire les trajectoires dont tous les rayons sont récurrents. Si α est une spirale, l'intérieur de l'adhérence A de l'image de α est un domaine bordé par des réunions connexes de trajectoires critiques de longueur finie et de singularités, qui sont des géodésiques locales périodiques.

Puisque ce sont les seules possibilités et que deux trajectoires de la liste ne peuvent avoir de point en commun à moins qu'elles ne coïncident, la surface Σ privée des points critiques de q et des trajectoires critiques se divise entre des cylindres plats (feuilletés par des trajectoires périodiques) et des domaines qui sont l'adhérence de chacune des spirales qu'ils contiennent.

Corollaire 3.11 Si ℓ est une géodésique locale de $(\Sigma, [q])$ telle que $\ell|_{[T, +\infty[}$ ne rencontre pas de singularité, et est donc de direction constante, quitte à choisir un autre représentant de $[q]$, on peut supposer que $\ell|_{[T, +\infty[}$ est de direction verticale pour q , et donc que c'est un rayon de trajectoire de q . D'après la classification ci-dessus, puisque le rayon $\ell|_{[T, +\infty[}$ ne rencontre pas de singularité, il est périodique ou récurrent et dans le second cas, son image est dense dans un domaine du feuilletage. Ce domaine est bordé par des géodésiques périodiques verticales, rencontrant au moins une singularité.

4 Image au bord à l'infini d'une famille de géodésiques.

4.1 Rappels sur les laminations géodésiques hyperboliques.

Soient Σ une surface comme dans la partie 2.4 et m une métrique hyperbolique à bord totalement géodésique (complète) sur Σ . Une *lamination géodésique hyperbolique* (ou plus simplement *lamination hyperbolique*) Λ_m de (Σ, m) est une partie non vide fermée de Σ , réunion d'images de géodésiques locales hyperboliques, simples et deux à deux disjointes. L'espace (Σ, m) est un espace métrique localement $\text{CAT}(-1)$ et donc localement $\text{CAT}(0)$. Soit $p : (\tilde{\Sigma}, \tilde{m}) \rightarrow (\Sigma, m)$ un revêtement universel riemannien de (Σ, m) . Si on munit le bord à l'infini $\partial_\infty \tilde{\Sigma}$ de l'ordre o_∞ défini dans la remarque 2.9, on est dans le cadre de la partie 2.1. On considère alors les paramétrages (à changements d'origine près) des géodésiques hyperboliques locales de Λ_m , en considérant pour chacune un paramétrage dans chaque sens. On note Γ_Σ le groupe de revêtement de p et $\tilde{\Lambda}_{\tilde{m}}$ l'image réciproque de Λ_m dans $(\tilde{\Sigma}, \tilde{m})$. Les géodésiques de $\tilde{\Lambda}_{\tilde{m}}$ sont deux à deux disjointes et donc deux à deux non entrelacées. De plus, puisque le support de $\tilde{\Lambda}_{\tilde{m}}$ est fermé dans $\tilde{\Sigma}$ et la métrique est hyperbolique, l'ensemble des couples de points à l'infini des éléments de $\tilde{\Lambda}_{\tilde{m}}$ est fermé dans $\partial_\infty^2 \tilde{\Sigma}$ (d'après [Pen, Lem. 1.6.1 p.68]), et puisque $(\tilde{\Sigma}, \tilde{m})$ est $\text{CAT}(-1)$, pour chaque élément $(x, y) \in \partial_\infty^2 \tilde{\Sigma}$, il existe une unique géodésique (à changement d'origine près) dont le couple de points à l'infini est (x, y) . D'après le lemme 2.5, l'ensemble $\tilde{\Lambda}_{\tilde{m}}$ est fermé pour la topologie des géodésiques. C'est donc une lamination au sens de la définition 2.2, et puisque il est Γ_Σ -équivariant, l'ensemble des projetés des feuilles de $\tilde{\Lambda}_{\tilde{m}}$ est une lamination de (Σ, m) . Dans la suite de cette partie, on appellera Λ_m cet ensemble et support de Λ_m sa réunion dans Σ .

La lamination hyperbolique Λ_m est *minimale* si elle ne contient pas de sous-lamination stricte. De manière équivalente, Λ_m est minimale si tout rayon géodésique d'une feuille de Λ_m est dense dans le support de Λ_m . Une *composante minimale* d'une lamination est une sous-lamination minimale.

Supposons que Σ soit d'aire finie (pour la métrique hyperbolique). Si on munit le complémentaire de Λ_m dans Σ de la distance de longueur induite par la restriction de la métrique hyperbolique sur $\Sigma - \Lambda_m$, le complété \bar{D} d'une composante connexe D du complémentaire pour cette distance est une surface hyperbolique à bord totalement géodésique, d'aire finie. Il est obtenu en rajoutant abstraitement à D un bord qui est la réunion d'un nombre fini de feuilles de Λ_m . En particulier, le bord du complété de D a un nombre fini de pointes, chacune délimitée par deux géodésiques du bord (éventuellement égales), voir [Bon, p.7].

Si (Σ, m) est d'aire finie, on dit qu'un bout e d'une géodésique locale simple λ de (Σ, m) *spirale* sur une lamination hyperbolique Λ_m si λ n'intersecte pas le support de Λ_m et s'il existe un rayon r dans la classe de e tel que le support de Λ_m soit l'ensemble des points d'accumulation de $r(t)$ quand t tend vers $+\infty$. Cette définition ne dépend pas du choix du rayon (voir la partie 2.1 pour la définition d'un bout).

Lemme 4.1 *Soit Λ_m une lamination hyperbolique de (Σ, m) . On considère une feuille λ de Λ_m , un bout e de λ (correspondant à $t \rightarrow +\infty$), et C une composante minimale de Λ_m . Alors e spirale sur C si et seulement s'il existe une feuille λ_0 de C (égale à λ si λ appartient à C) dont le point à l'infini (pour $t \rightarrow +\infty$) d'un relevé est égal au point à l'infini d'un relevé d'un rayon géodésique local dans la classe de e .*

Démonstration. On fixe un paramétrage de λ . Supposons qu'il existe une feuille λ_0 de C dont un relevé $\tilde{\lambda}_0$ a le même point à l'infini (pour $t \rightarrow +\infty$) que celui d'un relevé $\tilde{\lambda}$ de λ . La projection $p : (\tilde{\Sigma}, \tilde{m}) \rightarrow (\Sigma, m)$ n'augmente pas les distances, et par une propriété bien connue de la géométrie hyperbolique, on sait que quitte à changer d'origine $d(\tilde{\lambda}_0(t), \tilde{\lambda}(t))$ tend vers 0, et donc $d(\lambda(t), \lambda_0(t))$ tend vers 0 quand t tend vers l'infini. Donc l'ensemble des points d'accumulation de $\lambda(t)$ quand t tend vers l'infini est égal à celui de $\lambda_0(t)$, qui est C par minimalité.

Réciproquement, supposons que C soit l'ensemble limite de λ (pour $t \rightarrow +\infty$). Si λ appartient à C , on prend $\lambda_0 = \lambda$. Sinon, l'image de λ est contenue dans une composante D du complémentaire de la lamination hyperbolique C , et on a vu que le complété \overline{D} de D , pour la distance induite par m , est obtenu en recollant abstraitement un bord à D qui est la réunion d'un nombre fini de feuilles de C . Puisque le bout e s'accumule sur C , elle converge vers une pointe du bord de \overline{D} , et donc il existe une feuille λ_0 de C , abstraitement contenue dans le bord de \overline{D} telle que, quitte à changer d'origine, la distance $d(\lambda(t), \lambda_0(t))$ tend vers 0. Il existe alors des relevés $\tilde{\lambda}$ et $\tilde{\lambda}_0$ de λ et λ_0 tels que $d(\tilde{\lambda}(t), \tilde{\lambda}_0(t))$ tend vers 0. \square

Soient Λ_m une lamination géodésique hyperbolique de (Σ, m) et $\tilde{\Lambda}_{\tilde{m}}$ son image réciproque dans $\tilde{\Sigma}$. La lamination Λ_m est dite *maximale* si ce n'est pas une sous-lamination stricte d'une lamination géodésique hyperbolique. Si (Σ, m) est d'aire finie, la lamination Λ_m est maximale si les complétés des composantes connexes du complémentaire du support de Λ_m dans Σ (pour la métrique induite) sont des triangles géodésiques idéaux ou des monogones géodésiques idéaux privés d'un point. Si (Σ, m) est une surface compacte à bord (éventuellement vide) totalement géodésique, on dit que Λ_m est *quasi-maximale* si aucune composante de bord n'appartient à Λ_m et la réunion de Λ_m et des composantes de bord est maximale. La lamination Λ_m est donc quasi-maximale si et seulement si les complétés des composantes connexes du complémentaire de la lamination sont des triangles géodésiques idéaux ou des monogones géodésiques idéaux privés d'un disque dont le bord n'est pas une feuille.

Lemme 4.2 *Si (Σ, m) est une surface hyperbolique connexe compacte à bord totalement géodésique, il existe au moins une lamination sur (Σ, m) qui est à la fois minimale et quasi-maximale si et seulement si Σ n'est pas un pantalon.*

Démonstration. Soient (Σ_1, m_1) la surface hyperbolique complète obtenue en recollant des bouts évasés à bord géodésique sur chacune des composantes de bord de Σ et m'_1 une métrique hyperbolique sur Σ_1 , complète et d'aire finie. Puisque Σ n'est pas un pantalon, la surface Σ_1 n'est pas la sphère privée de trois points. Donc il existe une lamination Λ_1 de (Σ_1, m'_1) qui est à la fois minimale et maximale, dont les feuilles ne finissent pas dans les pointes. En étendant naturellement la bijection naturelle de [Bon, Lem. 18] entre laminations géodésiques pour des métriques hyperboliques qui ne sont pas nécessairement d'aire finie, et dont les feuilles ne finissent pas dans les pointes ou les bouts évasés, on montre qu'il existe une unique lamination géodésique de (Σ, m) en bijection avec Λ_1 , qui est minimale comme Λ_1 et qui est quasi-maximale car Λ_1 est maximale. Enfin, si Σ est un pantalon, les seules géodésiques minimales sont les composantes de bord. \square

4.2 Liens entre géodésiques locales hyperboliques et plates.

On suppose dans cette partie 4.2 que Σ est compacte et $\chi(\Sigma) < 0$. On considère une structure plate $[q]$ ainsi qu'une métrique hyperbolique m (complète) dans la classe conforme de $[q]$, sur Σ , et on fixe $p : \tilde{\Sigma} \rightarrow \Sigma$ un revêtement universel de Σ . On note Γ_Σ le groupe de revêtement de p , $[\tilde{q}]$ l'unique structure plate et \tilde{m} l'unique métrique hyperbolique définies sur $\tilde{\Sigma}$ telles que $p : (\tilde{\Sigma}, [\tilde{q}]) \rightarrow (\Sigma, [q])$ et $p : (\tilde{\Sigma}, \tilde{m}) \rightarrow (\Sigma, m)$ soient localement isométriques. Les espaces métriques $(\tilde{\Sigma}, [\tilde{q}])$ et $(\tilde{\Sigma}, \tilde{m})$ sont CAT(0) et puisque Σ est compacte, il existe un unique homéomorphisme Γ_Σ -équivariant entre les bords à l'infini de $\tilde{\Sigma}$ pour les métriques \tilde{m} et $[\tilde{q}]$, que l'on note indistinctement $\partial_\infty \tilde{\Sigma}$, et $\partial_\infty \Gamma_\Sigma$, par lequel on les identifie.

Si G est un ensemble de géodésiques hyperboliques de $\tilde{\Sigma}$ deux à deux non entrelacées, alors $\bigcup G$ est fermé dans $\tilde{\Sigma}$ si et seulement si $E(G)$ est fermé dans $\partial_\infty^2 \tilde{\Sigma}$ (voir [Pen, Lem. 1.6.1 p. 68] et la partie 2.1 pour les définitions de $\bigcup G$ et $E(G)$). Dans le cas des ensembles de géodésiques plates, cette équivalence est fautive. Dans cette partie, nous étudions le lien entre ensembles de géodésiques plates et ensembles de géodésiques hyperboliques.

On appelle *lamination plate* une lamination géodésique au sens de la définition 2.2 d'une surface munie d'une structure plate. On dit qu'elle est *pleine* si son image réciproque (par p) n'est pas une sous-lamination stricte d'une lamination plate ayant le même ensemble de couples de points à l'infini de feuilles. Toute lamination plate $\Lambda_{[q]}$ est contenue dans une unique lamination plate pleine $\Lambda_{[q]}^{\text{pl}}$ ayant le même ensemble de couples de points à l'infini au revêtement universel et $\Lambda_{[q]}^{\text{pl}} - \Lambda_{[q]}$ est composée de feuilles périodiques (voir le lemme 4.5). On dit que $\Lambda_{[q]}^{\text{pl}}$ est la lamination plate pleine qui *correspond* à $\Lambda_{[q]}$. Si λ et ℓ sont des géodésiques locales (non paramétrées mais orientées) de (Σ, m) et $(\Sigma, [q])$, on dit que λ *correspond* à ℓ s'il existe des relevés $\tilde{\lambda}$ et $\tilde{\ell}$ de λ et ℓ ayant le même couple de points à l'infini, et on dit qu'une lamination hyperbolique *correspond* à une lamination plate si leurs images réciproques au revêtement universel ont les mêmes ensembles de couples de points à l'infini de feuilles. À toute géodésique locale plate correspond une unique géodésique locale hyperbolique. De plus, si $\tilde{\Lambda}_{[\tilde{q}]}$ est l'image réciproque par p d'une lamination plate $\Lambda_{[q]}$, et si Y est l'ensemble des couples de points à l'infini des feuilles de $\tilde{\Lambda}_{[\tilde{q}]}$, alors Y est Γ_Σ et ι -invariant (où $\iota : (x, y) \mapsto (y, x)$), les couples d'éléments de Y sont deux à deux non entrelacés et Y est fermé dans $\partial_\infty^2 \tilde{\Sigma}$ d'après le lemme 2.7. D'après [Pen, Lem. 1.6.1 p.68], il existe donc une unique lamination hyperbolique $\tilde{\Lambda}_{\tilde{m}}$ de $(\tilde{\Sigma}, \tilde{m})$, telle que $E(\tilde{\Lambda}_{\tilde{m}}) = Y$ et $\tilde{\Lambda}_{\tilde{m}}$ est Γ_Σ -invariante par naturalité. Donc l'ensemble Λ_m des projetés des feuilles de $\tilde{\Lambda}_{\tilde{m}}$ est l'unique lamination hyperbolique de (Σ, m) qui correspond à $\Lambda_{[q]}$ (par construction). Si une géodésique locale plate (resp. lamination locale plate) est la seule à qui correspond une géodésique locale hyperbolique (resp. lamination hyperbolique), on dit qu'elles se *correspondent*.

Lemme 4.3 *L'application qui à une lamination plate associe l'unique lamination hyperbolique qui lui correspond induit une bijection entre l'ensemble des laminations plates pleines et l'ensemble des laminations hyperboliques.*

Démonstration. Montrons que la restriction de cette application aux laminations plates pleines est surjective. Soient Λ_m une lamination hyperbolique de (Σ, m) , et $\tilde{\Lambda}_{\tilde{m}}$ son image réciproque par p . On note $Y = E(\tilde{\Lambda}_{\tilde{m}})$, $\tilde{\Lambda}_{[\tilde{q}]}^{\text{pl}}$ l'ensemble maximal de géodésiques de $(\tilde{\Sigma}, [\tilde{q}])$

(définies à changements d'origine près) tel que pour tout $\tilde{\ell} \in \tilde{\Lambda}_{[q]}^{\text{pl}}$ il existe $\tilde{\lambda} \in \tilde{\Lambda}_{\tilde{m}}$ qui correspond à $\tilde{\ell}$.

Comme pour $\tilde{\Lambda}_{\tilde{m}}$, les géodésiques de $\tilde{\Lambda}_{[q]}^{\text{pl}}$ ne sont pas entrelacées et $\tilde{\Lambda}_{[q]}^{\text{pl}}$ est stable par $\ell \mapsto \ell^-$. Enfin, puisque Y est fermé dans $\partial_\infty^2 \tilde{\Sigma}$, et puisque l'ensemble $\tilde{\Lambda}_{[q]}^{\text{pl}}$ contient toutes les géodésiques plates dont le couple de points à l'infini appartient à Y , d'après le lemme 2.5, l'ensemble $\tilde{\Lambda}_{[q]}^{\text{pl}}$ est fermé pour la topologie des géodésiques, et c'est donc une lamination plate pleine. Et comme $\tilde{\Lambda}_{\tilde{m}}$, l'ensemble $\tilde{\Lambda}_{[q]}^{\text{pl}}$ est Γ_Σ -équivariant. Donc l'ensemble $\Lambda_{[q]}^{\text{pl}}$ des projetés des feuilles de $\tilde{\Lambda}_{[q]}^{\text{pl}}$ par p est une lamination plate de $(\Sigma, [q])$ et, par construction, Λ_m correspond à $\Lambda_{[q]}^{\text{pl}}$. Donc la restriction de l'application aux laminations plates pleines est surjective. Par définition des laminations plates pleines, elle est aussi injective, et donc bijective. \square

On rappelle le théorème de la bande plate. On dit que deux géodésiques c et c' d'un espace métrique (X, d) sont à *distance de Hausdorff finie* s'il existe $K > 0$ tel que $d(c(t), c'(t)) \leq K$ pour tout $t \in \mathbb{R}$.

Théorème 4.4 (voir [BH, Th. 2.13 p.182]) *Soient (X, d) un espace métrique CAT(0) et $c, c' : \mathbb{R} \rightarrow X$ deux géodésiques. Si c et c' sont à distance de Hausdorff finie, l'enveloppe convexe de $c(\mathbb{R}) \cup c'(\mathbb{R})$ est isométrique à une bande plate $\mathbb{R} \times [0, D] \subset \mathbb{E}^2$, avec $D \geq 0$. \square*

Lemme 4.5 (voir [MS, Th. 2.(c)]) *On rappelle que Σ est compacte. Soient $\tilde{\ell}_1$ et $\tilde{\ell}_2$ deux géodésiques de $(\tilde{\Sigma}, [\tilde{q}])$, telles que $\tilde{\ell}_1$ et $\tilde{\ell}_2$ sont à distance de Hausdorff finie et qu'il existe $\delta > 0$ tel que $d(\tilde{\ell}_1(t), \tilde{\ell}_2(\mathbb{R})) \geq \delta$ pour tout $t \in \mathbb{R}$. Alors les projection $p \circ \tilde{\ell}_1$ et $p \circ \tilde{\ell}_2$ de $\tilde{\ell}_1$ et $\tilde{\ell}_2$ sur Σ sont des géodésiques périodiques qui sont librement homotopes au bord d'un même cylindre plat maximal plongé isométriquement dans $(\Sigma, [q])$. \square*

Corollaire 4.6 *Soit Λ_m une lamination hyperbolique de (Σ, m) qui ne contient pas de feuille fermée. Alors il existe une unique lamination plate $\Lambda_{[q]}$ telle que Λ_m corresponde à $\Lambda_{[q]}$. Elle est pleine et à chaque feuille de Λ_m ne correspond qu'une seule feuille de $\Lambda_{[q]}$.*

Démonstration. Supposons qu'il existe deux géodésiques (non paramétrées) distinctes $\tilde{\ell}_1$ et $\tilde{\ell}_2$ de $(\tilde{\Sigma}, [\tilde{q}])$ qui ont le même couple de points à l'infini qu'un relevé $\tilde{\lambda}$ d'une feuille λ de Λ_m . Alors d'après le théorème 4.4, les géodésiques $\tilde{\ell}_1$ et $\tilde{\ell}_2$ bordent une même bande plate, et il existe $\delta > 0$ tel que tout point de l'une est à distance δ de l'autre. Donc, d'après le lemme 4.5, les projections $\ell_1 = p \circ \tilde{\ell}_1$ et $\ell_2 = p \circ \tilde{\ell}_2$ sont périodiques. Mais alors il existe un élément hyperbolique γ du groupe de revêtement de p , tel que $\tilde{\lambda}(-\infty) = \tilde{\ell}_1(-\infty)$ et $\tilde{\lambda}(+\infty) = \tilde{\ell}_1(+\infty)$ sont respectivement les points fixes répulsif et attractif de γ , et λ serait fermée. Donc, à toute feuille de Λ_m ne correspond qu'une seule géodésique locale de $(\Sigma, [q])$, et il n'existe donc qu'une seule lamination plate qui correspond à Λ_m . \square

4.3 Laminations plates minimales.

Dans cette partie 4.3, on suppose toujours que Σ est compacte et $\chi(\Sigma) < 0$ et on note $p : (\tilde{\Sigma}, [\tilde{q}]) \rightarrow (\Sigma, [q])$ un revêtement localement isométrique de groupe de revêtement Γ_Σ . De même que pour une lamination hyperbolique, une lamination plate est dite *minimale* si elle n'a pas de sous-lamination stricte. De manière équivalente, une lamination plate est

minimale si pour chacune de ses feuilles ℓ , la paire $\{\ell, \ell^-\}$, où ℓ^- est la feuille ℓ orientée dans l'autre sens, est dense dans la lamination, pour la topologie des géodésiques. Si une lamination plate de $(\Sigma, [q])$ est minimale, la lamination hyperbolique de (Σ, m) qui lui correspond n'a pas de sous-lamination stricte et est donc minimale. Réciproquement, supposons qu'une lamination hyperbolique est minimale et n'est pas une feuille fermée, alors par minimalité, elle ne contient pas de feuille fermée et d'après le corollaire 4.6, il existe une unique lamination plate qui lui correspond, qui est minimale. On considère deux lemmes généraux.

Lemme 4.7 *Si Λ est une lamination plate minimale de $(\Sigma, [q])$, qui n'est pas une paire de feuilles périodiques opposées, aucune de ses feuilles n'est positivement ou négativement périodique.*

Démonstration. Supposons par contraposée qu'il existe une feuille ℓ de Λ qui est positivement périodique. Alors quitte à changer son origine, elle est égale, à partir d'un certain temps, à une géodésique locale périodique ℓ' et il existe une suite de réels $(t_n)_{n \in \mathbb{N}}$ tendant vers l'infini telle que $\ell(t_n) = \ell'(0)$ pour tout n . Alors la suite $(\ell_n)_{n \in \mathbb{N}}$ définie par $\ell_n(t) = \ell(t + t_n)$ pour tout $t \in \mathbb{R}$ converge vers ℓ' pour la topologie compacte-ouverte, et ℓ' appartient à Λ car Λ est fermée pour la topologie des géodésiques. Par minimalité, $\Lambda = \{\ell', \ell'^-\}$. \square

Soient Λ une lamination hyperbolique de (Σ, m) et C une composante minimale de Λ . Si λ_2 est une feuille de C et si λ_1 est une feuille de Λ dont le bout (pour $t \rightarrow +\infty$) spirale sur C , il existe des géodésiques locales plates ℓ_1 et ℓ_2 , uniques à changements d'origine près, qui correspondent à λ_1 et λ_2 . On fixe des paramétrages de λ_1 , λ_2 , ℓ_1 et ℓ_2 .

Lemme 4.8 *Pour tout relevé paramétré $\tilde{\ell}_2$ de ℓ_2 dans $\tilde{\Sigma}$, quitte à inverser l'orientation de ℓ_2 , il existe une suite de réels $(t_n)_{n \in \mathbb{N}}$ qui converge vers l'infini, et une suite de relevés (paramétrés) $(\tilde{\ell}_{1,n})$ de ℓ_1 tels que la suite de feuilles paramétrées $(\tilde{\ell}'_{1,n})_{n \in \mathbb{N}}$ définies par $\tilde{\ell}'_{1,n}(t) = \tilde{\ell}_{1,n}(t + t_n)$ pour tout $t \in \mathbb{R}$, converge vers $\tilde{\ell}_2$ pour la topologie compacte-ouverte. De plus, pour tout $n \in \mathbb{N}$, il existe $\gamma_n \in \Gamma_\Sigma$ (le groupe de revêtement de p) tel que $\tilde{\ell}_{1,n} = \gamma_n \cdots \tilde{\ell}_{1,1}$, et puisque $\tilde{\ell}_{1,n}$ et $\tilde{\lambda}_{1,n}$ ont le même couple de points à l'infini, on a $\tilde{\lambda}_{1,n} = \gamma_n \cdots \tilde{\lambda}_{1,1}$. Puisque Γ_Σ agit par isométrie sur $\tilde{\Sigma}$, on en déduit que $d(\tilde{\ell}_{1,n}(0), \lambda_{1,n}(0)) = d(\tilde{\ell}_{1,1}(0), \tilde{\ell}_{1,1}(0))$. De même, les points $\tilde{\ell}_{1,n}(t_n)$ et $\tilde{\lambda}_{1,n}(s_n)$ restent à distance bornée. Donc, puisque $(s_n)_{n \in \mathbb{N}}$ tend vers l'infini et $\tilde{\ell}_{1,n}$ et $\tilde{\lambda}_{1,n}$ ont le même couple de points à l'infini, la suite $(t_n)_{n \in \mathbb{N}}$ tend vers l'infini.*

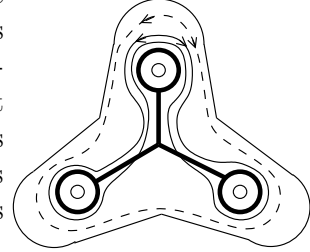
Démonstration. Soit $\tilde{\lambda}_2$ le relevé de λ_2 qui correspond à $\tilde{\ell}_2$. Puisque le bout de λ_1 (pour $t \rightarrow +\infty$) spirale sur C , il existe une suite de réels $(s_n)_{n \in \mathbb{N}}$ tendant vers l'infini telle que $\lambda_1(s_n)$ converge vers $\lambda_2(0)$, et il existe une suite $(\tilde{\lambda}_{1,n})_{n \in \mathbb{N}}$ de relevés de λ_1 telle que la suite $(\tilde{\lambda}_{1,n}(s_n))_{n \in \mathbb{N}}$ converge vers $\tilde{\lambda}_2(0)$. D'après le lemme 2.3, si, pour tout $n \in \mathbb{N}$, on reparamètre $\tilde{\lambda}_{1,n}$ pour que $\tilde{\lambda}_{1,n}(s_n)$ soit l'origine, quitte à extraire et à inverser l'orientation de λ_2 , la suite $(\tilde{\lambda}_{1,n})_{n \in \mathbb{N}}$ converge vers $\tilde{\lambda}_2$ pour la topologie compacte-ouverte, et donc la suite des couples de points à l'infini des feuilles $(\tilde{\lambda}_{1,n})_{n \in \mathbb{N}}$ converge vers le couple de points à l'infini de $\tilde{\lambda}_2$. Soient $(\tilde{\ell}_{1,n})_{n \in \mathbb{N}}$ la suite de relevés de ℓ_1 telle que, pour tout $n \in \mathbb{N}$, $\tilde{\ell}_{1,n}$ corresponde à $\tilde{\lambda}_{1,n}$ et $(t_n)_{n \in \mathbb{N}}$ la suite de réels telle que $\tilde{\ell}_{1,n}(t_n)$ soit le point de $\tilde{\ell}_{1,n}(\mathbb{R})$ le plus proche de $\tilde{\ell}_2(0)$. Puisque Σ est compacte, $(\tilde{\Sigma}, [\tilde{q}])$ est δ -hyperbolique pour un certain $\delta > 0$,

et d'après le lemme 2.6 et la définition de $(t_n)_{n \in \mathbb{N}}$, quitte à extraire, la suite $(\tilde{\ell}_{1,n})_{n \in \mathbb{N}}$ définie par $\tilde{\ell}_{1,n}(t) = \tilde{\ell}_{1,n}(t + t_n)$ pour tout $t \in \mathbb{R}$, converge vers $\tilde{\ell}_2$ pour la topologie compacte-ouverte. \square

Corollaire 4.9 *Soit $\Lambda_{[q]}$ une lamination plate minimale qui n'est pas une paire de feuilles périodiques opposées. Alors si ℓ_1 et ℓ_2 sont deux feuilles de $\Lambda_{[q]}$ et $\tilde{\ell}_2$ est un relevé de ℓ_2 dans $\tilde{\Sigma}$, quitte à inverser l'orientation de $\tilde{\ell}_2$, il existe une suite de relevés de ℓ_1 qui converge vers $\tilde{\ell}_2$ pour la topologie des géodésiques. De plus, chacun des rayons géodésiques de chacune des feuilles de $\Lambda_{[q]}$ est dense dans le support de $\Lambda_{[q]}$.*

Démonstration. On applique le lemme 4.8 en prenant $C = \Lambda_m$ qui est la lamination hyperbolique correspondant à $\Lambda_{[q]}$, qui est minimale et n'est pas une feuille fermée, en remarquant que chacun des bouts des feuilles de Λ_m spirale sur Λ_m . Soient ℓ_1 et ℓ_2 deux feuilles de $\Lambda_{[q]}$ et x un point de l'image de ℓ_2 . On fixe des paramétrages tels que $\ell_2(0) = x$. Alors il existe une suite $(t_n)_{n \in \mathbb{N}}$ qui tend vers l'infini et une suite $(\tilde{\ell}_{1,n})_{n \in \mathbb{N}}$ de relevés de ℓ_1 telles que $(\tilde{\ell}_{1,n}(t_n))_{n \in \mathbb{N}}$ converge vers $\tilde{\ell}_2(0)$ et, quitte à changer l'orientation de ℓ_2 et à prendre $\tilde{\ell}_{1,n}(t_n)$ comme origine de $\tilde{\ell}_{1,n}$ pour tout $n \in \mathbb{N}$, la suite $(\tilde{\ell}_{1,n})_{n \in \mathbb{N}}$ converge vers $\tilde{\ell}_2$ pour la topologie compacte-ouverte. Donc pour tout $\varepsilon > 0$ et $t > 0$, il existe $n \in \mathbb{N}$ tel que $t_n > t$ et $d(\tilde{\ell}_{1,n}(t_n), \tilde{\ell}_2(0)) = d(\ell_1(t_n), x) < \varepsilon$ (pour les distances des structures plates). Donc tous les rayons de la forme $\ell_1|_{[a, +\infty[}$ avec $a \in \mathbb{R}$ sont denses dans le support de $\Lambda_{[q]}$ et de mêmes pour les rayons de la forme $\ell_1|_{]-\infty, a]}$. \square

Remarque. Une lamination plate peut ne pas être minimale même si tous les rayons géodésiques de chacune de ses feuilles sont denses dans son support. Par exemple, on considère la surface plate ci-contre, dont les singularités sont d'angle 3π et situées au sommet du graphe en gras. Alors la réunion des deux géodésiques plates correspondant aux deux courbes périodiques dessinées (et de leurs inverses) est une lamination plate telle que l'image de chacun des rayons géodésiques



de chacune des feuilles est égale au graphe. Mais la lamination n'est pas minimale.

Dans la suite de cette partie 4.3, on considère une lamination plate minimale $\Lambda_{[q]}$ de $(\Sigma, [q])$, qui n'est pas une paire de feuilles périodiques opposées et Λ_m la lamination hyperbolique minimale de (Σ, m) qui lui correspond, qui n'est pas une feuille fermée. On note $\tilde{\Lambda}_{[q]}$ et $\tilde{\Lambda}_{\tilde{m}}$ leurs images réciproques dans $\tilde{\Sigma}$.

Lemme 4.10 *Supposons qu'il existe une feuille de $\Lambda_{[q]}$ dont l'image est compacte. Alors toutes les feuilles de $\Lambda_{[q]}$ ont la même image, et l'image de n'importe quel rayon géodésique contenu dans une feuille lui est égale.*

Démonstration. Soient ℓ_1, ℓ_2 des feuilles de $\Lambda_{[q]}$ telles que ℓ_1 est compacte. D'après le corollaire 4.9, si $\tilde{\ell}_2$ est un relevé de ℓ_2 , il existe une suite de relevés de ℓ_1 qui converge vers $\tilde{\ell}_2$ pour la topologie des géodésiques.

La feuille ℓ_1 est compacte. Si ℓ_1 était régulière, elle serait contenue dans un cylindre plat et serait périodique, et on aurait $\Lambda_{[q]} = \{\ell_1, \ell_1^-\}$. Donc l'image de ℓ_1 est contenue dans un nombre fini de liaisons de singularités. Si K est un compact de $\tilde{\Sigma}$ qui intersecte l'image de $\tilde{\ell}_2$, il n'y a qu'un nombre fini de liaisons de singularités contenues dans K qui se

projettent sur une liaison de singularités parcourue par ℓ_1 . Et puisque $(\tilde{\Sigma}, [\tilde{q}])$ est un espace métrique CAT(0), tout segment géodésique ne parcourt au plus qu'une fois chacune de ces liaisons de singularités. Il n'y a donc qu'un nombre fini de segments géodésiques contenus dans K dont l'image est contenue dans la réunion de ces liaisons de singularités, et la suite $(\tilde{\ell}_{1,n|K})_{n \in \mathbb{N}}$, des restrictions des feuilles $\tilde{\ell}_{1,n}$ à K est constante à partir d'un certain rang, égale à $\tilde{\ell}_{2|K}$. On en déduit que pour tout compact K de $\tilde{\Sigma}$, la projection $p(\tilde{\ell}_{2|K})$ est contenue dans l'image de ℓ_1 , et ceci étant vrai pour tous les compacts, l'image de ℓ_2 est contenue dans celle de ℓ_1 , et en particulier compacte. En inversant les rôles de ℓ_1 et ℓ_2 , on montre que l'image de ℓ_1 est contenue dans celle de ℓ_2 , et donc, elles sont égales. Toutes les feuilles de $\Lambda_{[q]}$ ont donc la même image qui est la réunion d'un nombre fini de liaisons de singularités. De plus, d'après le lemme 4.8, chacun des rayons géodésiques contenus dans une feuille de $\Lambda_{[q]}$ est dense dans le support de $\Lambda_{[q]}$, et donc égal au support de $\Lambda_{[q]}$. \square

Si $\tilde{\ell}$ est une géodésique de $(\tilde{\Sigma}, [\tilde{q}])$, on dit que $\tilde{\ell}$ est une *feuille de Levitt* s'il existe une composante connexe $\tilde{\Sigma}^+$ de $\tilde{\Sigma} - \tilde{\ell}(\mathbb{R})$ telle que pour tout $t \in \mathbb{R}$, l'angle défini par les germes de $\tilde{\ell}([t - \varepsilon, t])$ et $\tilde{\ell}([t, t + \varepsilon])$, avec $\varepsilon > 0$, mesuré dans $\tilde{\Sigma}^+$, est égal à π (la notion de feuille de Levitt non régulière correspond aux droites singulières du relevé d'un feuilletage introduites par G. Levitt dans [Lev]). On appelle $\tilde{\Sigma}^+$ un *côté sans angle* de $\tilde{\ell}$. On appelle *feuille de Levitt* de $(\Sigma, [q])$ la projection d'une feuille de Levitt de $(\tilde{\Sigma}, [\tilde{q}])$. Une feuille de Levitt est de direction constante.

Supposons qu'il existe une feuille ℓ de $\Lambda_{[q]}$ qui ne soit pas compacte. Puisque ℓ n'est pas périodique, d'après les lemmes 3.9 et 3.10, elle admet un rayon géodésique $\ell_{|[T, +\infty[}$, avec $T > 0$, ne rencontrant pas de singularité, qui est de direction constante et est dense dans un domaine du feuilletage vertical $\mathcal{F}_{q'}$ d'une différentielle quadratique holomorphe q' de la classe $[q]$, que l'on note C . D'après le corollaire 4.9, tous les rayons géodésiques des feuilles de $\Lambda_{[q]}$ sont denses dans le support de $\Lambda_{[q]}$, qui est donc égal à C . Puisque $\ell_{|[T, +\infty[}$ est dense dans C et les autres feuilles de $\Lambda_{[q]}$ n'intersectent pas transversalement $\ell_{|[T, +\infty[}$, toutes les feuilles de $\Lambda_{[q]}$ sont de direction constante et de même direction.

Lemme 4.11 *La lamination plate $\Lambda_{[q]}$ est alors égale à l'ensemble des feuilles de Levitt qui sont contenues dans C et de même direction que ℓ .*

Démonstration. Le support de la lamination plate $\Lambda_{[q]}$ est C donc $\Lambda_{[q]}$ contient l'ensemble des feuilles régulières du feuilletage $\mathcal{F}_{q'}$ (le feuilletage vertical défini par q') de même direction que ℓ , qui sont denses dans C .

Montrons que l'ensemble des feuilles de Levitt locales, contenues dans C et de même direction que ℓ , est contenu dans $\Lambda_{[q]}$. Soient ℓ_1 une feuille de Levitt contenue dans C et de même direction que ℓ et $\tilde{\ell}_1$ un de ses relevés.

Soient $\tilde{\Sigma}^+$ un des côtés sans angle de $\tilde{\Sigma} - \tilde{\ell}_1(\mathbb{R})$, $\tilde{x} \in \tilde{\ell}_1(\mathbb{R})$ et $(\tilde{x}_n)_{n \in \mathbb{N}}$ une suite de points telle que pour tout $n \in \mathbb{N}$, il existe une feuille régulière $\tilde{\ell}_n$ de $\tilde{\Lambda}_{[\tilde{q}]}$ contenues dans $\tilde{\Sigma}^+$ telle que $\tilde{\ell}_n(0) = \tilde{x}_n$, et $(\tilde{x}_n)_{n \in \mathbb{N}}$ converge vers \tilde{x} . D'après le lemme 2.3, quitte à extraire, $(\tilde{\ell}_n)_{n \in \mathbb{N}}$ converge vers une feuille $\tilde{\ell}_2$ de $\tilde{\Lambda}_{[\tilde{q}]}$ passant par \tilde{x} , pour la topologie des géodésiques. Or, pour tout $n \in \mathbb{N}$, $\tilde{\ell}_n$ est régulière et contenue dans $\tilde{\Sigma}^+$, donc la géodésique $\tilde{\ell}_2$ est une feuille de Levitt dont $\tilde{\Sigma}^+$ est un côté sans angle, et donc $\tilde{\ell}_2 = \tilde{\ell}_1$ à changement d'orientation et d'origine près. Donc $\tilde{\ell}_1$ appartient à $\tilde{\Lambda}_{[\tilde{q}]}$.

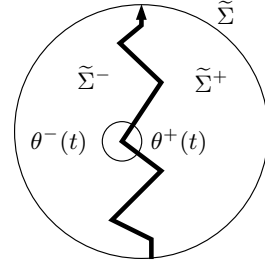
Réciproquement, montrons que $\Lambda_{[q]}$ est contenu dans l'ensemble des feuilles de Levitt contenues dans C et de même direction que ℓ . Nous avons vu que l'ensemble des feuilles de

Levitt régulières, de même direction que ℓ , qui sont denses dans C , est contenu dans $\Lambda_{[q]}$. Soient ℓ_1 l'une d'elles et ℓ_2 une feuille quelconque de $\Lambda_{[q]}$. Si $\tilde{\ell}_2$ est un relevé de ℓ_2 , puisque $\Lambda_{[q]}$ est minimale et n'est pas réduite à une paire de feuilles périodiques opposées, d'après le corollaire 4.9, il existe une suite de relevés paramétrés $(\tilde{\ell}_{1,n})_{n \in \mathbb{N}}$ de ℓ_1 qui converge vers $\tilde{\ell}_2$ pour la topologie des géodésiques. Puisque pour tout $n \in \mathbb{N}$, les feuilles $\tilde{\ell}_{1,n}$ et $\tilde{\ell}_2$ ne sont pas entrelacées, quitte à extraire, il existe une composante connexe $\tilde{\Sigma}^+$ de $\tilde{\Sigma} - \tilde{\ell}_2(\mathbb{R})$ dont l'adhérence contient toutes les feuilles de la suite. Puisque $(\tilde{\ell}_{1,n})_{n \in \mathbb{N}}$ converge vers $\tilde{\ell}_2$ pour la topologie des géodésiques, pour tout $t \in \mathbb{R}$, l'angle défini par les germes $\tilde{\ell}_2([t - \varepsilon, t])$ et $\tilde{\ell}_2([t, t + \varepsilon])$, avec $\varepsilon > 0$, mesuré dans $\tilde{\Sigma}^+$, est égal à π . Donc $\tilde{\ell}_2$ est une feuille de Levitt contenue dans $p^{-1}(C)$ et ℓ_2 est une feuille de Levitt contenue dans C . \square

4.4 Rayons asymptotiques.

Dans cette partie 4.4, on suppose toujours que $(\Sigma, [q])$ est une surface compacte munie d'une structure plate et $p : (\tilde{\Sigma}, [\tilde{q}]) \rightarrow (\Sigma, [q])$ est un revêtement universel localement isométrique. On caractérise maintenant les rayons géodésiques de $(\tilde{\Sigma}, [\tilde{q}])$ ayant le même point à l'infini. La notion de géodésique quasi-droite vient de [Dan, § 3.4].

Soit $\tilde{\ell} : \mathbb{R} \rightarrow \tilde{\Sigma}$ une géodésique de $(\tilde{\Sigma}, [\tilde{q}])$. On note $\tilde{\Sigma}^\pm$ les adhérences des composantes connexes de $\tilde{\Sigma} - \tilde{\ell}(\mathbb{R})$. Pour tout $t \in \mathbb{R}$, on note $\theta_\ell^-(t)$ et $\theta_\ell^+(t)$ (ou simplement $\theta^-(t)$ et $\theta^+(t)$) les angles définis par les germes $\tilde{\ell}([t - \varepsilon, t])$ et $\tilde{\ell}([t, t + \varepsilon])$, avec $\varepsilon > 0$, mesurés respectivement dans $\tilde{\Sigma}^-$ et $\tilde{\Sigma}^+$. On dit que $\tilde{\ell}$ est *quasi-droite* si, quitte à permuter $+$ et $-$, on a $\sum_{t>0}(\theta^+(t) - \pi) < \infty$. Ceci ne dépend pas du paramétrage.



Puisque $\tilde{\ell}$ est une géodésique, on a toujours $\theta^+(t) - \pi \geq 0$ et $\theta^+(t) - \pi = 0$ en dehors des singularités. Un point $\eta \in \partial_\infty \tilde{\Sigma}$ est *quasi-droit* s'il existe une géodésique quasi-droite $\tilde{\ell}$ telle que $\tilde{\ell}(+\infty) = \eta$.

Lemme 4.12 (voir [Dan, Prop. 3.10])

- Soient $\tilde{\ell}_1$ et $\tilde{\ell}_2$ deux géodésiques de $(\tilde{\Sigma}, [\tilde{q}])$ telles que $\tilde{\ell}_1(+\infty) = \tilde{\ell}_2(+\infty)$. Alors si l'une n'est pas quasi-droite, quitte à reparamétriser, on a $\tilde{\ell}_1(t) = \tilde{\ell}_2(t)$ pour tout $t > 0$.
- Soit $\eta \in \partial_\infty \tilde{\Sigma}$ un point quasi-droit. Alors toute géodésique $\tilde{\ell}$ de $(\tilde{\Sigma}, [\tilde{q}])$ telle que $\tilde{\ell}(+\infty) = \eta$ est quasi-droite.

Lemme 4.13 Soient $\ell_1 : \mathbb{R} \rightarrow \Sigma$ une géodésique locale positivement compacte de $(\Sigma, [q])$ dont aucun rayon (pour $t > 0$) n'est contenu dans un cylindre plat non dégénéré et ℓ_1 un relevé de ℓ_1 dans $\tilde{\Sigma}$. Soit $\tilde{\ell}_2$ une géodésique de $(\tilde{\Sigma}, [\tilde{q}])$ telle que $\tilde{\ell}_2(+\infty) = \tilde{\ell}_1(+\infty)$. Alors il existe $T > 0$ tel que $\tilde{\ell}_2|_{[T, +\infty[} = \tilde{\ell}_1|_{[T, +\infty[}$ à changement d'origine près, et donc $\ell_2|_{[T, +\infty[} = p \circ \tilde{\ell}_2|_{[T, +\infty[} = \ell_1|_{[T, +\infty[}$.

Démonstration. Puisque ℓ_1 est positivement compacte, il existe $T_0 > 0$ tel que les ensembles $\{\theta_{\ell_1}^+(t), t > T_0\}$ et $\{\theta_{\ell_1}^-(t), t > T_0\}$, définis pour un choix de conventions \pm , ne prennent qu'un nombre fini de valeurs qui apparaissent chacune une infinité de fois dans les sommes $\sum_{t>T_0} \theta_{\ell_1}^\pm(t) - \pi$. En particulier, $\sum_{t>T_0} \theta_{\ell_1}^\pm(t) - \pi$ vaut 0 si chacune de ces valeurs est nulle et $+\infty$ sinon. Puisque $\ell_1([T_0, +\infty[)$ n'est pas contenue dans un cylindre plat non dégénéré, il existe t_\pm tels que $\theta_{\ell_1}^\pm(t_\pm) - \pi > 0$, donc ces deux sommes valent

$+\infty$, et donc ℓ_1 n'est pas quasi-droite. D'après le lemme 4.12, il existe $T > 0$ tel que $\ell_2|_{[T, +\infty[} = \ell_1|_{[T, +\infty[}$, à changement d'origine près. \square

Lemme 4.14 *Soient $\ell_1 : \mathbb{R} \rightarrow \Sigma$ une géodésique locale périodique de $(\Sigma, [q])$ contenue dans un cylindre plat non dégénéré, $\tilde{\ell}_1$ un relevé de ℓ_1 dans $\tilde{\Sigma}$ et \tilde{B} la bande plate maximale contenant $\tilde{\ell}_1$. Soit ℓ_2 une géodésique de $(\tilde{\Sigma}, [\tilde{q}])$ telle que $\ell_2(+\infty) = \tilde{\ell}_1(+\infty)$. Alors si $\ell_2(\mathbb{R})$ n'est pas contenue dans \tilde{B} , il existe $T > 0$ tel que $\ell_2([T, +\infty[)$ est contenue dans un des bords \tilde{b} de \tilde{B} , et donc $\ell_2|_{[T, +\infty[} = p \circ \tilde{\ell}_2|_{[T, +\infty[}$ est contenue dans $b = p(\tilde{b})$.*

Démonstration. La démonstration de ce lemme se déduit facilement de la démonstration de [Dan, Prop. 3.10]), en remarquant que, quitte à inverser l'orientation, les bords de \tilde{B} ont les mêmes couples de points à l'infini que $\tilde{\ell}_1$ et qu'ils n'ont qu'un seul côté quasi-droit. On applique alors le lemme 4.12 au bord de \tilde{B} dont le côté qui n'est pas quasi-droit contient $\tilde{\ell}_1$. \square

De même que dans la partie 4.3, on considère une métrique hyperbolique complète m dans la classe conforme de $[q]$, ainsi qu'une lamination plate $\Lambda_{[q]}$ minimale qui n'est pas une paire de feuilles périodiques opposées et Λ_m la lamination hyperbolique minimale qui lui correspond. On note $\tilde{\Lambda}_{[q]}$ et $\tilde{\Lambda}_{\tilde{m}}$ leurs images réciproques par p .

Lemme 4.15 *Supposons que $\Lambda_{[q]}$ soit un ensemble de feuilles de Levitt denses dans un domaine (voir le lemme 4.11). Alors si λ est une géodésique de (Σ, m) qui spirale sur Λ_m , et si ℓ est la géodésique locale plate qui lui correspond (qui est unique à changement d'origine près), il existe une feuille ℓ_1 de $\Lambda_{[q]}$ et $T > 0$ tels que $\ell|_{[T, +\infty[} = \ell_1|_{[T, +\infty[}$ (quitte à changer d'origines).*

Démonstration. D'après le lemme 4.1, il existe une feuille ℓ_0 de $\Lambda_{[q]}$ dont un relevé à le même point à l'infini qu'un relevé de ℓ . Puisque les feuilles de $\Lambda_{[q]}$ sont des feuilles de Levitt non périodiques, et donc ne sont pas positivement compactes, d'après le lemme 4.13, ℓ n'est pas positivement compacte. Puisqu'elle n'est pas auto-entrelacée, d'après le lemme 3.9, elle ne rencontre pas de singularité et est donc de direction constante à partir d'un certain temps, soit $T > 0$. Comme ℓ_0 est dense dans le support de $\Lambda_{[q]}$, qui est une sous-surface à bord totalement géodésique (voir le lemme 4.11), on peut paramétrer ℓ_0 pour que son origine appartienne à l'intérieur du support de $\Lambda_{[q]}$. Alors, d'après le lemme 4.8, il existe $t > T$ tel que $\ell(t)$ soit arbitrairement proche de $\ell_0(0)$, et donc appartienne à l'intérieur du support de $\Lambda_{[q]}$. Puisque ℓ et ℓ_0 ne sont pas entrelacée, si le rayon $\ell|_{[t, +\infty[}$ n'est pas contenu dans l'image de ℓ_0 , il n'intersecte pas ℓ_0 , et puisque ℓ_0 est dense dans le support de $\Lambda_{[q]}$, il est de même direction. Donc $\ell|_{[t, +\infty[}$ est un rayon d'une (ou de deux) feuille de Levitt de même direction que ℓ_0 , et est donc un rayon d'une feuille de $\Lambda_{[q]}$ d'après le lemme 4.11. \square

5 Lamination plate minimale de support un graphe fini.

Dans cette partie, on cherche à savoir à quelle condition un graphe métrique fini peut être plongé isométriquement dans une surface plate compacte telle qu'il soit le support d'une lamination plate minimale (qui ne soit pas une paire de feuilles périodiques opposées). Nous utiliserons les définitions et conventions sur les graphes de [Ser]. On confond un graphe et sa réalisation topologique, et on le munit d'une distance géodésique telle que chaque

demi-arête soit isométrique à un intervalle compact de \mathbb{R} . On supposera de plus qu'il est connexe et sans sommet terminal. La *valence* d'un point est le cardinal de l'ensemble des germes de rayons issus de ce point. Un *arbre simplicial* est un graphe simplement connexe dont la longueur des arêtes est minorée par une constante strictement positive.

Soit G un graphe. Une *orientation cyclique* de G est la donnée, pour chaque sommet x , d'un ordre cyclique sur l'ensemble des germes de rayons géodésiques issus de x . On appelle *graphes cycliquement ordonnés* les graphes munis d'une orientation cyclique.

Remarque 5.1 Soit (T, or) un arbre simplicial cycliquement ordonné, et $\partial_\infty T$ son bord à l'infini. Si a, b, c sont des points deux à deux distincts de $\partial_\infty T$, on note $t = t(a, b, c)$ le centre du tripode défini par a, b et c ($t =]a, b[\cap]a, c[\cap]b, c[$), et r_a, r_b, r_c les germes issus de t définis par $[t, a[, [t, b[, [t, c[$. On pose alors $o(a, b, c) = or_t(r_a, r_b, r_c)$. La fonction $o : (\partial_\infty T)^3 \rightarrow \{-1, 0, 1\}$ ainsi définie (avec $o(a, b, c) = 0$ si a, b, c ne sont pas deux à deux distincts) est un ordre cyclique sur $\partial_\infty T$, et l'application f qui à une orientation cyclique de T associe l'ordre cyclique total sur $\partial_\infty T$ ainsi défini est injective (voir [Wol, Prop. 3.9]). On dit qu'un ordre cyclique total sur $\partial_\infty T$ est cohérent s'il appartient à l'image de f .

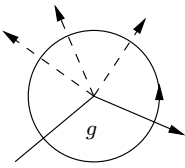
Si (G, or) est un graphe fini cycliquement ordonné, et si $p : \tilde{G} \rightarrow G$ est un revêtement universel localement isométrique, alors \tilde{G} est un arbre simplicial et il existe une unique orientation cyclique \tilde{or} sur \tilde{G} telle que p préserve l'orientation cyclique, c'est-à-dire que si r_1, r_2, r_3 sont des germes de rayons géodésiques issus d'un point $\tilde{x} \in \tilde{G}$, alors $or_{x=p(\tilde{x})}(p(r_1), p(r_2), p(r_3)) = \tilde{or}_{\tilde{x}}(r_1, r_2, r_3)$. Et cette orientation cyclique définit un ordre cyclique cohérent sur $\partial_\infty \tilde{G}$. Un graphe fini cycliquement ordonné est donc aussi un espace métrique enrubanné.

Si (T, or) est un arbre simplicial cycliquement ordonné dont la valence de chaque sommet est finie, en particulier si T est un revêtement d'un graphe fini cycliquement ordonné, c'est un espace métrique CAT(0) propre, et son bord à l'infini est muni d'un ordre (cyclique total). Donc on est dans les conditions de la partie 2.1, et l'on peut définir des laminations géodésiques sur de tels graphes.

Soient (G, or) un graphe cycliquement ordonné et $(\Sigma, [q])$ une surface munie d'une structure plate tels qu'il existe un plongement isométrique ϕ de G dans $(\Sigma, [q])$. On dit que ϕ *préserve l'orientation cyclique* si en notant or^Σ l'orientation cyclique induite sur le graphe plongé $\phi(G)$ par un choix d'orientation de Σ , alors $\phi : (G, or) \rightarrow (\phi(G), or^\Sigma)$ préserve l'orientation cyclique.

Une géodésique locale $g : \mathbb{R} \rightarrow G$ *serre à droite* si pour tout $t \in \mathbb{R}$ tel que $g(t)$ est un sommet de G , le germe de $g([t, t + \varepsilon[)$ succède à celui de $g(]t - \varepsilon, t])$ (pour $\varepsilon > 0$), pour l'ordre $or_{g(t)}$ (c'est-à-dire, si on note r_1 et r_2 les germes de $g([t, t + \varepsilon[)$ et de $g(]t - \varepsilon, t])$, alors pour tout germe r_3 distinct de r_1 et r_2 , on a $or_{g(t)}(r_3, r_1, r_2) = 1$).

Chaque arête de G est parcourue dans les deux sens par des géodésiques locales qui serrent à droite, éventuellement égales, qui sont uniques (à changement d'origine près).



Lemme 5.2 Soit (G, or) un graphe fini cycliquement ordonné. Alors G est le support d'une lamination minimale non dénombrable, donc dont aucune feuille n'est positivement ou négativement périodique, si et seulement si (G, or) n'est pas isomorphe à un cercle, une paire d'haltères, un huit plat ou un théta plat, par un isomorphisme préservant l'orientation cyclique (c'est-à-dire $\bigcirc \bigcirc \bigcirc \bigcirc \ominus$, où les orientations cycliques sont données par l'orientation du plan).

Démonstration. Soit $g : \mathbb{R} \rightarrow G$ une géodésique locale qui serre à droite. Puisque G est fini, il existe au moins deux réels $t_1 < t_2$ et $\varepsilon > 0$ tels que les germes de $g|_{[t_1, t_1 + \varepsilon[}$ et $g|_{[t_2, t_2 + \varepsilon[}$ sont égaux, et puisque g est déterminée par la donnée d'un de ses germes de rayon géodésique, la géodésique locale g est périodique.

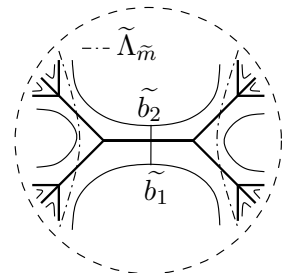
Puisque G est fini, l'ensemble des géodésiques locales qui serrent à droite (à changements d'origine près) est fini et chaque arête est parcourue dans les deux sens par des éléments de cet ensemble.

Le long de chaque élément de cet ensemble, on recolle, par isométrie locale, un cylindre plat de hauteur 1 et de la bonne circonférence, le long de l'une de ses composantes de bord et on note (Σ, d) l'espace métrique ainsi obtenu et toujours G le plongé (isométrique) de G dans (Σ, d) (voir la fin de la partie pour des exemples). Alors par construction, chaque point de Σ qui n'est pas un sommet de valence supérieure ou égale à trois de G admet un voisinage isométrique à un ouvert du demi-plan supérieur fermé de \mathbb{R}^2 (muni de la métrique euclidienne), et chaque sommet de valence supérieure ou égale à trois de G est une singularité conique d'angle $k\pi$, où $k \geq 3$ est sa valence. De plus, les cylindres plats sont recollés le long de géodésiques locales de direction constante. Donc si on les feuillette par des feuilles parallèles à leur bord, on construit ainsi un champ de droites parallèle sur (Σ, d) . Enfin, chacun des cylindres plats est orientable, et puisque les recollements en chaque sommet sont ordonnés selon l'ordre cyclique sur les germes de rayons issus du sommet, la surface Σ est orientable. On a vu dans la partie 2.5 que Σ est munie d'une structure plate à holonomie $\{\pm \text{Id}\}$, soit $[q]$. On peut choisir l'orientation de Σ pour que le plongement de G dans Σ préserve l'orientation.

La surface compacte Σ ne peut être ni un disque, ni une sphère, ni un tore. Supposons que Σ n'est ni un cylindre ni un pantalon. Alors $\chi(\Sigma) < 0$ et il existe une métrique hyperbolique m à bord totalement géodésique sur Σ . D'après le lemme 4.2, il existe au moins une lamination minimale et quasi-maximale sur (Σ, m) , qui est non dénombrable. Soit $\Lambda_{[q]}$ l'unique lamination plate qui lui correspond, qui est aussi non dénombrable (voir la partie 4.2 pour la définition de cette correspondance). On note $\tilde{\Lambda}_{[q]}$ et $\tilde{\Lambda}_{\tilde{m}}$ les images réciproques de $\Lambda_{[q]}$ et Λ_m dans $\tilde{\Sigma}$. Puisque Λ_m est minimale et n'est pas réduite à une feuille fermée, d'après le lemme 4.7, aucune feuille de $\Lambda_{[q]}$ n'est positivement ou négativement périodique.

Supposons qu'il existe un point d'une feuille ℓ de $\Lambda_{[q]}$ qui n'appartienne pas à G . Si ℓ n'est pas parallèle à une composante du bord, il existe un rayon de ℓ qui rencontre transversalement une composante du bord, ce qui est impossible car alors ℓ ne serait pas définie sur \mathbb{R} . Donc ℓ est parallèle à une composante du bord, et donc périodique, ce qui est impossible car $\Lambda_{[q]}$ est minimale et non dénombrable. Donc le support de $\Lambda_{[q]}$ est contenu dans G .

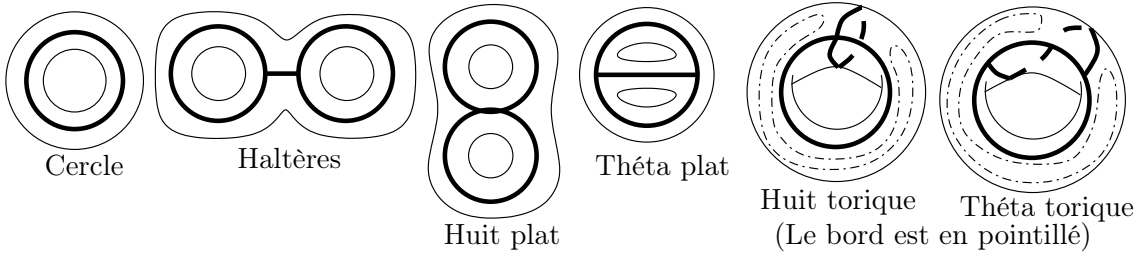
Supposons qu'il existe une arête a de G qui n'est parcourue par aucune feuille de $\Lambda_{[q]}$. Alors si $\tilde{a} : [-r, r] \rightarrow \tilde{\Sigma}$ est un relevé paramétré de a (avec $r > 0$), en notant A et B les ensembles de points de $\partial_\infty \tilde{\Sigma}$ qui sont respectivement les extrémités des rayons qui ont le même germe que $\tilde{a}|_{[0, r[}$ ou $\tilde{a}|_{]-r, 0]}$, aucune feuille de $\tilde{\Lambda}_{[q]}$ n'a ses points à l'infini appartenant respectivement à A et B , et de même pour $\tilde{\Lambda}_{\tilde{m}}$. Donc le plus court segment géodésique de $(\tilde{\Sigma}, \tilde{m})$ qui joint les composantes de bord \tilde{b}_1 et \tilde{b}_2 (voir la figure), n'est



intersecté par aucune feuille de $\tilde{\Lambda}_{\tilde{m}}$, et il existe une composante du complémentaire du

support de $\tilde{\Lambda}_m$ dont le complété a au moins \tilde{b}_1 et \tilde{b}_2 comme composantes de $\partial\tilde{\Sigma}$ dans son bord. Or, puisque Λ_m est quasi-maximale, les complétés des composantes connexes du complémentaire de $\tilde{\Lambda}_m$ dans $\tilde{\Sigma}$ sont des triangles géodésiques idéaux ou des polygones géodésiques idéaux dont un seul côté n'est pas une feuille mais une composante du bord de $\tilde{\Sigma}$. Donc chaque arête de G est parcourue par au moins une feuille de $\Lambda_{[q]}$. D'après le lemme 4.10, chaque feuille parcourt toutes les arêtes.

Si Σ est un cylindre plat, les feuilles d'une lamination de $(\Sigma, [q])$ sont périodiques. De même, si Σ était un pantalon et s'il existait une lamination non dénombrable sur $(\Sigma, [q])$, la lamination hyperbolique lui correspondant serait non dénombrable, ce qui est impossible sur un pantalon hyperbolique. Il reste donc à déterminer les graphes finis enrubannés dont la surface munie d'une structure plate associée, construite ci-dessus, soit un pantalon. Soient (G, or) un tel graphe et $(\Sigma, [q])$ le pantalon plat associé. Puisque Σ se rétracte par déformation forte sur G , le groupe fondamental de G en un point quelconque est isomorphe au groupe fondamental de Σ au même point, et est donc un groupe libre à deux générateurs. Le graphe G est donc homéomorphe à un graphe de type huit, haltères, ou théta. Si G est homéomorphe à un graphe de type haltères, quitte à prendre le symétrique d'une haltère par rapport à l'axe, on montre qu'il n'existe qu'une seule orientation cyclique sur G , sinon il existe deux orientations cycliques sur G (à isomorphisme préservant l'orientation cyclique près). On montre alors que Σ n'est un pantalon que si G est le graphe des haltères, du théta plat ou du huit plat. \square



Remarque. Dans la démonstration, on plonge isométriquement tout graphe fini métrique enrubanné dans une surface à bord, munie d'une structure plate, en préservant l'orientation cyclique. En recollant sur chacune des composantes de bord une surface munie d'une structure plate ayant au moins une composante de bord de même longueur, on montre qu'il existe une infinité de telles surfaces.

6 Théorème de structure des laminations géodésiques plates.

Dans cette partie, on donne un théorème de structure des laminations géodésiques sur une surface compacte munie d'une structure plate. On note de nouveau $(\Sigma, [q])$ une surface comme dans la partie 2.4 munie d'une structure plate et on suppose que Σ est compacte et $\chi(\Sigma) < 0$.

Soit $\Lambda_{[q]}$ une lamination plate. On appelle *composante cylindrique* de $\Lambda_{[q]}$ un ensemble maximal de feuilles de $\Lambda_{[q]}$ contenues dans un cylindre plat non dégénéré (elles sont alors périodiques) et on dit qu'elle est *pleine* si son support est égal au cylindre. Une *composante minimale* de $\Lambda_{[q]}$ est une sous-lamination plate minimale de $\Lambda_{[q]}$. Si C est une composante

minimale, on dit qu'elle est de *type graphe fini* si son support est un graphe fini (nécessairement sans sommet terminal), et de *type récurrent* si c'est la réunion des feuilles de Levitt locales contenues dans son support et de même direction (voir la définition précédant le lemme 4.11). D'après le lemme 4.9, si une composante minimale n'est pas une paire de feuilles périodiques opposées, tous les rayons géodésiques locaux dans ses feuilles sont denses dans son support. Nous verrons au théorème 6.1 que ce sont les seuls cas possibles, avec les paires de feuilles périodiques opposées. Si ℓ est une géodésique plate, on dit qu'un de ses bouts *aboutit* dans une composante cylindrique s'il existe un rayon géodésique correspondant à ce bout qui est contenu dans un bord du cylindre plat maximal correspondant, à partir d'un certain temps (elle peut être disjointe des feuilles de la composante cylindrique), et qu'elle *aboutit* dans une composante minimale s'il existe un rayon géodésique correspondant à ce bout qui est un rayon d'une feuille de cette composante minimale.

Théorème 6.1 *Soit $\Lambda_{[q]}$ une lamination plate sur une surface compacte munie d'une structure plate $(\Sigma, [q])$. Alors $\Lambda_{[q]}$ est la réunion d'un nombre fini de composantes cylindriques, d'un nombre fini de composantes minimales (de type récurrent ou graphe fini ou paire de feuilles périodiques opposées non contenues dans un cylindre plat non dégénéré) et d'un nombre fini de feuilles isolées (pour la topologie des géodésiques) dont chacun des bouts aboutit dans une composante minimale ou dans une composante cylindrique.*

Remarque. Les composantes minimales de type récurrent sont des domaines de feuilletages verticaux de différentielles quadratiques holomorphes, c'est-à-dire des sous-surfaces à bord totalement géodésique (voir le lemme 3.10). Si deux composantes minimales de type récurrent s'intersectent, puisque tous les points de leur support appartiennent à des feuilles de Levitt, deux à deux non entrelacées, elles ne peuvent s'intersecter qu'en une réunion de liaisons de singularités qui n'est pas connexe a priori, le long de leur bord. De même, une composante minimale de type récurrent ne peut intersecter une composante cylindrique que le long du bord du cylindre plat maximal qui la contient, et deux cylindres plats maximaux ne peuvent s'intersecter que le long de leur bord. On ne peut rien dire, a priori de l'intersection des autres types de composantes.

Démonstration. On fixe une métrique hyperbolique m (complète à bord totalement géodésique) dans la classe conforme de $[q]$. On renvoie à la partie 4.2 pour les notations et les définitions de lamination plate pleine et de lamination hyperbolique correspondant à une lamination plate. Soit Λ_m la lamination géodésique hyperbolique qui correspond à $\Lambda_{[q]}$. Puisque Σ est compacte, d'après par exemple [CEM, Th. 1.4.2.8 p. 83], la lamination hyperbolique Λ_m est la réunion disjointe d'un nombre fini de composantes minimales et d'un nombre fini de géodésiques isolées dont chacun des bouts spirale sur une composante minimale. D'après le corollaire 4.6, à chaque composante minimale de Λ_m qui n'est pas une feuille fermée correspond une unique composante minimale de $\Lambda_{[q]}$, qui est de type graphe fini si elle contient une géodésique compacte, et de type récurrent sinon (d'après les lemmes 4.10 et 4.11). De plus, si une géodésique de Λ_m est périodique et si elle ne correspond pas à une unique feuille périodique de $\Lambda_{[q]}$, elle correspond à un ensemble maximal d'au moins deux feuilles de $\Lambda_{[q]}$, contenues dans un cylindre plat d'après le lemme 4.5, qui est fermé pour la topologie des géodésiques, d'après le lemme 2.5. Cet ensemble est donc une composante cylindrique.

Enfin, si le bout d'une feuille de Λ_m spirale sur une composante minimale de Λ_m , le bout de la géodésique plate qui lui correspond aboutit sur la composante cylindrique ou la composante minimale de $\Lambda_{[q]}$ correspondante, d'après les lemmes 4.13, 4.14 et 4.15. \square

Références

- [BFH] M. Bestvina, M. Feighn, and M. Handel. *Laminations, trees and irreducible automorphisms of free groups*. *Geom. Funct. Anal.* **7** (1997) 215–244 ; erratum **7** (1997) 1143–1143.
- [BH] M. R. Bridson and A. Haefliger. *Metric spaces of non-positive curvature*. *Grund. math. Wiss.* **319**, Springer Verlag, 1999.
- [Bon] F. Bonahon. *Geodesic laminations on surfaces*. *Contemp. Math. Vol.00* (1997).
- [CEM] R. Canary, D. Epstein, and A. Marden. *Fundamentals of Hyperbolic Manifolds : Selected Exposition*. *London Math. Soc. Lect. Series* **328**, 2005.
- [CHL] T. Coulbois, A. Hilion, and M. Lustig. *Non-unique ergodicity, observers' topology and the dual lamination for \mathbb{R} -trees*. *Illinois J. Math.* **51** (2007) 897–911.
- [Dan] K. Dankwart. *On the large-scale geometry of flat surfaces*. *Dissertation zur Erlangung des Doktorgrades* (2010).
- [DLR] M. Duchin, C. Leininger, and K. Rafi. *Length spectra and degeneration of flat metrics*. *Invent. Math.* **18** (2010) 231–277.
- [Lev] G. Levitt. *Foliations and laminations on hyperbolic surfaces*. *Topology* **114** (2004) 119–135.
- [MS] A. Marden and K. Strebel. *On the ends of trajectories*. *Differential geometry and complex analysis*, Springer Verlag (1985) 195–204.
- [Pen] R. C. Penner. *Combinatorics of train tracks*. *Annals of Math. Stud./Princeton Univ. Press*, 1992.
- [Ser] J.-P. Serre. *Arbres, amalgames, SL_2* . 3ème éd. corr., *Astérisque* **46**, Soc. Math. France, 1983.
- [Str] K. Strebel. *Quadratic Differentials*. Springer Verlag, 1984.
- [Wol] M. Wolf. *Connected components of the compactification of representation spaces of surface groups*. *Geom. and Topo.* **15** (2011) 1225–1295.

Département de mathématique, UMR 8628 CNRS, Université Paris-Sud, Bât. 430, F-91405 Orsay Cedex, FRANCE. Bureau : 16.

thomas.morzadec@math.u-psud.fr